



## รายงานวิจัย

การวิเคราะห์เสถียรภาพของแบบจำลองการระบาด S/QS เมื่อมีการเพิ่มของ

### ประชากรแบบโลจิสติก

Stability Analysis of an S/QS Epidemic Model with Logistic Population

Growth

วัชระพงศ์ จินดาพันธ์

สิทธิพงศ์ ทอสาย

รายงานฉบับนี้เป็นส่วนหนึ่งของการศึกษา

หลักสูตรวิทยาศาสตรบัณฑิต สาขาวิชาคณิตศาสตร์

คณะวิทยาศาสตร์และเทคโนโลยี มหาวิทยาลัยราชภัฏสงขลา



ใบรับรองงานวิจัย

มหาวิทยาลัยราชภัฏสงขลา

หลักสูตรวิทยาศาสตรบัณฑิต

สาขาวิชาคณิตศาสตร์

**ชื่อเรื่องงานวิจัย** การวิเคราะห์เสถียรภาพของแบบจำลองการระบาด  $SIQS$  เมื่อมีการเพิ่มของประชากรแบบโลจิสติก

Stability Analysis of an  $SIQS$  Epidemic Model with Logistic Population Growth

**ชื่อผู้ทำงานวิจัย** ว่าที่รพระพงศ์ จินดาพันธ์ และ สิทธิพงศ์ ท่อสาย

คณะกรรมการสอบโครงการวิจัย

.....อาจารย์ที่ปรึกษา .....ประธานกรรมการสอบ  
(อาจารย์อดิศักดิ์ เด็นเพ็ชรหน่อง) (อาจารย์สานิตย์ ฤทธิเดช)

.....อาจารย์ที่ปรึกษาร่วม .....กรรมการสอบ  
(อาจารย์ ดร.ศิรัชต์ ทิพย์ศรี) (อาจารย์สายใจ เพชรคงทอง)

ประธานหลักสูตร

(อาจารย์สานิตย์ ฤทธิเดช) (ผู้ช่วยศาสตราจารย์ ดร.อนุมัติ เดชะนະ)  
คณบดีคณะวิทยาศาสตร์และเทคโนโลยี

เมื่อวันที่ 27 พฤษภาคม พ.ศ. ๒๕๖๗

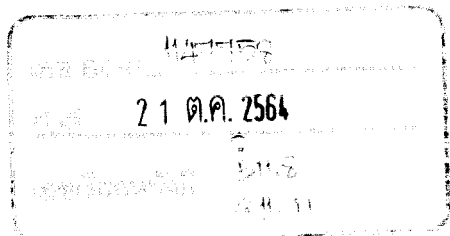
ลิขสิทธิ์มหาวิทยาลัยราชภัฏสงขลา

ชื่อเรื่อง	การวิเคราะห์เสถียรภาพของแบบจำลองการระบบ SIQS เมื่อมีการเพิ่มของประชากรแบบโลจิสติก	
ชื่อผู้ทำงานวิจัย	วัชระพงศ์ จินดาพันธ์	รหัสนักศึกษา 584254024
	สุทธิพงศ์ หมาสาข	รหัสนักศึกษา 584254029
อาจารย์ที่ปรึกษา	ดร. จารุย์ฤทธิ์ศักดิ์ เดชาพิพัฒน์ ๖๙๑๒๔๐๒๔๙	
อาจารย์ที่ปรึกษาร่วม	อาจารย์ ดร. ศิรินทร์ ทิพย์ศรี	
หลักสูตรวิทยาศาสตรบัณฑิต	สาขาวิชาคณิตศาสตร์	
สถาบัน	มหาวิทยาลัยราชภัฏสงขลา	
ปีการศึกษา	2561	

### บทคัดย่อ

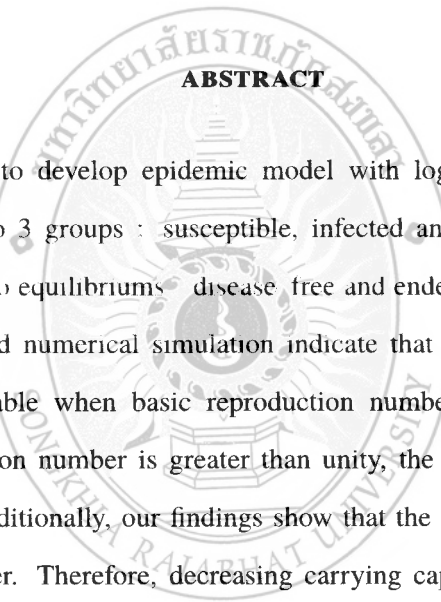
งานวิจัยนี้ได้พัฒนาแบบจำลองการระบบเมื่อมีการเพิ่มประชากรแบบโลจิสติก โดยมีการแบ่งประชากรออกเป็น 3 กลุ่ม คือ กลุ่มเสี่ยงต่อการติดเชื้อ กลุ่มติดเชื้อ และกลุ่มติดเชื้อที่ภูมิคุ้มกัน ผลการวิเคราะห์แบบจำลองโดยใช้ทฤษฎีภูมิคุ้มกันและผลลัพธ์ที่ได้จากการติดเชื้อพื้นฐานน้อยกว่าหนึ่ง ในทางกลับกันหากค่าระดับการติดเชื้อพื้นฐานมากกว่าหนึ่ง จุดสมดุลที่โรคคงอยู่เป็นจุดที่มีเสถียรภาพเชิงเส้นกำกับ นอกจากนี้ยังพบว่าอัตราขีดความสามารถในการรับและแสดงผลลัพธ์ที่ได้จากการติดเชื้อพื้นฐาน นั้นคือหากลดอัตราขีดความสามารถในการรับรักษาจะส่งผลให้จำนวนผู้ที่ติดเชื้อลดลง

**คำสำคัญ :** แบบจำลองการระบบ เสถียรภาพ ค่าระดับการติดเชื้อพื้นฐาน การเพิ่มแบบโลจิสติก



21 ต.ค. 2564

<b>Project Title</b>	Stability analysis of an <i>SIQS</i> Epidemic Model with Logistic Population Growth	
<b>Authors</b>	Watcharapong Jindaphan	Student ID 584254024
	Sittipong Torsai	Student ID 584254029
<b>Advisor</b>	Lect. Adisak Denphetnong	
<b>Co-Advisor</b>	Dr. Sirachat Tipsri	
<b>Bachelor of Science</b>	Program in Mathematics	
<b>Institute</b>	Songkhla Rajabhat University	
<b>Academic Year</b>	2561	



### ABSTRACT

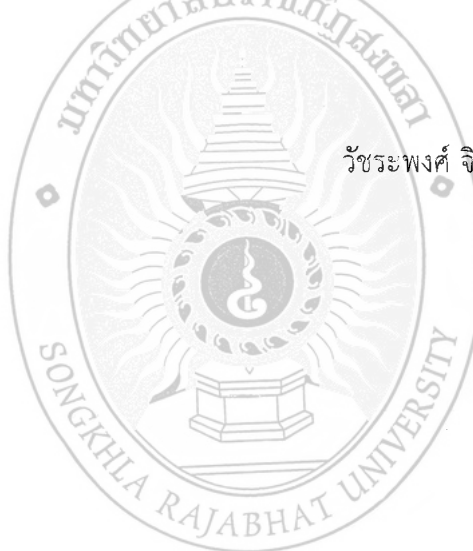
This study aims to develop epidemic model with logistic population growth. The population is divided into 3 groups : susceptible, infected and quarantine. The results find that the model exhibits two equilibriums disease free and endemic equilibriums. The analysis of the stability theory and numerical simulation indicate that the disease-free equilibrium is locally asymptotically stable when basic reproduction number is less than unity. On the contrary, basic reproduction number is greater than unity, the endemic equilibrium is locally asymptotically stable. Additionally, our findings show that the carrying capacity rate varies as basic reproduction number. Therefore, decreasing carrying capacity rate results in decreased infected.

**Keywords :** Epidemic model, Stability, Basic reproduction number, Logistic Growth

## คำนำ

รายงานการศึกษาโครงการงานทางคณิตศาสตร์ฉบับนี้เป็นส่วนหนึ่งของการศึกษาวิชา 4574902 โครงการงานทางคณิตศาสตร์ ตามหลักสูตรวิทยาศาสตรบัณฑิต สาขาวิชาคณิตศาสตร์ คณะวิทยาศาสตร์ แต่เทคโนโลยี มหा�วิทยาลัยราชภัฏสงขลา ชื่องผู้จัดทำ ใช้ตัวบุรุษงค์เพียงพัฒนาแบบฉบับอย่างคณิตศาสตร์ วิเคราะห์สถิติรากทั้งคณิตศาสตร์ของแบบจำลอง และวิเคราะห์ผลเชิงตัวเลขของแบบจำลองเพื่อให้สอดคล้องกับค่าระดับการติดเชื้อกองแบบจำลองที่มีสถิติราก

ผู้จัดทำ ขอขอบพระคุณ อาจารย์อดิศักดิ์ เด่นเพ็ชรหน่อง และ อาจารย์ ดร.ศิรภัตร ทิพย์ศรี ผู้ให้ความรู้ ให้คำแนะนำ และช่วยเหลือในการทำโครงการครั้งนี้จนสำเร็จลุล่วงด้วยดี



วันที่ พ.ศ. ๒๕๖๒

## กิตติกรรมประกาศ

การดำเนินโครงการ การวิเคราะห์เสถียรภาพของแบบจำลองการระบาด SIQS เมื่อมีการเพิ่มของประชากรแบบโลจิสติก สามารถสำเร็จลุล่วงได้ด้วยเดี๋ยงนี้ เพราะได้รับความอนุเคราะห์และความช่วยเหลือจากผู้ทรงคุณรุ่น輩อย่าง ดร. ท่านเตยะนพ อะยองยังยิ่งยวด ยศยุติศักดิ์ เด่นเป็นหนึ่ง อาจารย์ที่ปรึกษาโครงการ และอาจารย์ดอร.ศิรัชตร ทิพย์ศรี อาจารย์ที่ปรึกษาร่วมโครงการ ที่ได้เสียเวลาอันมีค่าเพื่อให้คำปรึกษา คำแนะนำ และให้ความช่วยเหลือต่าง ๆ จนกระทั่งโครงการฉบับนี้เสร็จสมบูรณ์ ขอบคุณที่ ฯ และเพื่อน ๆ ในสาขาวิชาคณิตศาสตร์ทุกคน ที่เคยให้คำแนะนำ และกำลังใจ รวมถึงการช่วยเหลือที่มิให้กันมาตลอด

ขอขอบพระคุณคุณพ่อ คุณแม่ที่ค่อยดูแลและให้โอกาสทางการศึกษาและเป็นกำลังใจสำคัญที่สุดที่ทำให้โครงการฉบับนี้เสร็จสมบูรณ์

วัชร์ พงศ์ จินดาพันธ์ และ สิทธิพงศ์ หอสาย

กุมภาพันธ์ 2562

# สารบัญ

หน้า

บทที่ ๑ บทนำ

๑

Abstract

๒

คำนำ

๓

กิตติกรรมประกาศ

๔

สารบัญ

๕

สารบัญตาราง

๖

สารบัญรูป

๗

บทที่ ๑ บทนำ

๑

1.1 ที่มาและความสำคัญของปัญหาวิจัย .....	1
1.2 จุดประสงค์ .....	3
1.3 ขอบเขตการศึกษา .....	3
1.4 วิธีดำเนินการศึกษา .....	3
1.5 แผนดำเนินการศึกษา .....	4
1.6 ประโยชน์ที่คาดว่าจะได้รับ .....	4

บทที่ ๒ เอกสารและงานวิจัยที่เกี่ยวข้อง

5

2.1 ความรู้พื้นฐาน .....	5
2.1.1 ความรู้พื้นฐานเกี่ยวกับการเพิ่มของประชากรแบบโลจิสติก .....	5
2.1.2 ความรู้พื้นฐานเกี่ยวกับค่าระดับการติดเชื้อ .....	6
2.1.3 ความรู้พื้นฐานเกี่ยวกับเมทริกซ์ .....	6
2.1.4 การหาค่าระดับการติดเชื้อของแบบจำลองโดยใช้วิธีรุนถดไป .....	10
2.2 งานวิจัยที่เกี่ยวข้อง .....	11

บทที่ ๓ วิธีดำเนินการวิจัย

17

3.1 การพัฒนาแบบจำลองทางคณิตศาสตร์ .....	17
3.2 การวิเคราะห์เสถียรภาพทางคณิตศาสตร์ของแบบจำลอง .....	19
3.2.1 จุดสมดุลของแบบจำลองคณิตศาสตร์ .....	19

	หน้า
3.2.2 ค่าระดับการติดเชื้อพื้นฐาน . . . . .	20
3.2.3 เสถียรภาพทางคณิตศาสตร์ของแบบจำลอง . . . . .	22
3.3 การวิเคราะห์ผลเชิงตัวเลขของแบบจำลอง . . . . .	24
<b>บทที่ 4 สรุปผลการวิเคราะห์</b>	<b>29</b>
<b>ภาคผนวก A</b>	<b>31</b>
<b>เอกสารอ้างอิง</b>	<b>44</b>



## สารบัญตาราง

ตารางที่	หน้า
3.1 พารามิเตอร์และคุณภาพของช่องทางตัวแทน	18
3.2 คุณภาพของผลิตภัณฑ์ของพารามิเตอร์	24
3.3 ความสัมพันธ์ระหว่างค่าระดับการติดเชื้อพื้นฐานและอัตราขีดความสามารถใน การรองรับประชาชน .....	27



## สารบัญรูป

รูปที่		หน้า
1.1	กราฟแสดงจำนวนประชากรในอดีตและแนวโน้มการเติบโต	2
2.1	กราฟพารabolism ของจำนวนประชากรแบบ Logistic Population Growth	5
2.2	แสดงตัวอย่างค่าระดับการติดเชื้อมีค่าเท่ากับ 3 . . . . .	6
3.1	แบบจำลองการระบาด SIQS เมื่อมีการเพิ่มประชากรแบบโลจิสติก . . . . .	17
3.2	แสดงผลเฉลยเชิงตัวเลขของแบบจำลอง (3.1) เมื่อ $\beta = 0.0014$ จะได้ $R_0 < 1$ . . .	25
3.3	แสดงผลเฉลยเชิงตัวเลขของแบบจำลอง (3.1) เมื่อ $\beta = 0.05$ จะได้ $R_0 > 1$ . . .	26
3.4	แสดงอัตราค่าขีดความสามารถในการรองรับประชากรในกลุ่มประชากรที่ติดเชื้อในรูปแบบจำลอง แบบเวลาตามค่าพารามิเตอร์ต่อไปนี้ $r = 1, K = 50, 70$ และ $90, \beta = 0.05, \delta = 0.1, \gamma = 0.03, \varepsilon = 0.2, d = 0.1$ และ $\alpha = 0.1$ . . . .	28



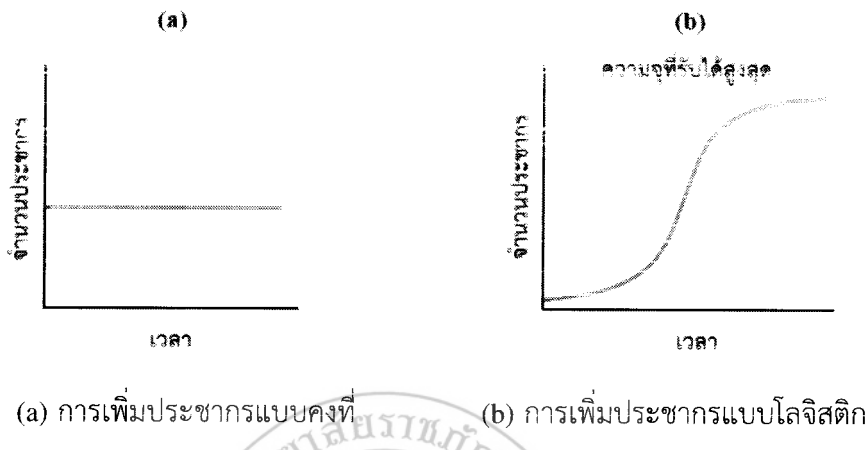
# บทที่ 1

## บทนำ

### 1.1 ที่มาและความสำคัญของปัญหาวิจัย

โรคระบาด (Epidemic) คือ สถานการณ์การติดเชื้อโรคหรือโรคติดเชื้อที่เกิดขึ้นในระยะเวลาเดียวกันในชุมชนหรือในแหล่งหนึ่งแหล่งใดในอัตราสูงกว่าสถานการณ์ปกติที่ควรเป็น โดยการติดเชื้อนั้นลุกຄามแพร่กระจายอยู่ในชุมชนหรือในแหล่งนั้น ๆ ที่อยู่ใกล้เคียงจุดเริ่มต้นของโรคและสามารถแพร่กระจายลุกຄามไปยังชุมชนอื่น ๆ ที่อยู่ไกล ๆ ออกไปได้หลาย ๆ ชุมชนหรือหลาย ๆ สถานที่ (พวงทอง ไกรพิบูลย์, 2558) จากปัญหาที่พบในชุมชนมีประชากรที่ติดเชื้อสูงกว่าสถานการณ์ปกติ เพราะมีอัตราประชากรที่เสี่ยงต่อการติดเชื้อสูงเกินไปจึงจะต้องมีความสมดุลของจำนวนประชากรในชุมชนนั้นเพื่อเป็นการลดพื้นที่เสี่ยงต่อการติดเชื้อ ซึ่งการคัดแยกประชากรที่ติดเชื้อเป็นอีกวิธีหนึ่งที่สามารถควบคุมการระบาดของโรคเพื่อช่วยลดจำนวนประชากรในการติดเชื้อและการเพิ่มประชากร <sup>๔๖๗๑ โอลิสติ๊ก เนิร์กิ หนึ่งเท่านั้นที่ส แมรี ครา คุณ ธรรมชาติศาสตร์ ได้แต่ง เมื่อ ๒๕๓๘ ๒๕๓๙ พิมฯ ๘๗๗</sup> การแบบโลจิสติกมาเบรียบเทียบกับการเพิ่มประชากรแบบคงที่ จะเห็นได้ว่าการเพิ่มของประชากรแบบโลจิสติกมีความสมจริงมากกว่าการเพิ่มประชากรแบบคงที่ เพราะการเพิ่มประชากรแบบโลจิสติกเป็น-การเพิ่มที่มีรูปแบบการเพิ่มลักษณะเป็นรูปตัวเอส (S-shape) หรือ กราฟแบบซิกมอยด์ (sigmoidal curve) ซึ่งแบ่งระยะต่าง ๆ ออกได้เป็น 4 ระยะด้วยกัน คือ ระยะที่ 1 มีการเพิ่มจำนวนประชากรอย่างช้า ๆ เนื่องจากเป็นระยะเริ่มต้น จำนวนประชากรมีน้อย และมีอัตราการเกิดสูงกว่าอัตราการตายเพียงเล็กน้อย ระยะที่ 2 มีการเพิ่มจำนวนประชากรอย่างรวดเร็ว เนื่องจากประชากรมีจำนวนมากขึ้น และสามารถปรับตัวเข้ากับสิ่งแวดล้อมได้ดี มีอัตราการเกิดสูงกว่าอัตราการตายมาก ระยะที่ 3 มีการเพิ่มประชากรช้าลง เนื่องจากมีตัวต้านทานในสิ่งแวดล้อมเข้ามายืดหยุ่นในการเพิ่มจำนวนประชากร เช่น แหล่งอาหารและแหล่งที่อยู่อาศัยค่อนข้างจำกัด มีของเสียจากเมแทบอลิซึมมากขึ้น มีการแก่งแย่งแข่งขันของประชากรมากขึ้น เป็นต้น ระยะที่ 4 มีการเพิ่มจำนวนประชากรค่อนข้างคงที่ เป็นช่วงที่ประชากรอยู่ในภาวะสมดุล เนื่องจากประชากรสามารถปรับตัวให้เหมาะสมกับตัวต้านทานในสิ่งแวดล้อมได้ ทำให้มีอัตราการเกิดใกล้เคียงกับอัตราการตาย จำนวนประชากรจึงค่อนข้างจะคงที่ อาจจะเพิ่มขึ้นหรือลดลงบ้างเล็กน้อย (fluctuation) แต่ก็ไม่ทำให้ขนาดประชากรเปลี่ยนแปลงไปมากนัก ถือได้ว่าระยะนี้เป็นระยะที่ขนาดประชากรมีความเหมาะสมกับสภาพแวดล้อมรอบด้าน โดยสภาพแวดล้อมที่สามารถรองรับประชากรได้มากที่สุดนี้ เรียกว่า ค่าซีดความสามารถในการรองรับ (Carrying capacity)

(ภูภัทร แก้วยอดจันทร์, 2561) แต่การเพิ่มประชากรแบบคงที่เป็นการเพิ่มจำนวนประชากรเท่ากันทุกระยะและเมื่อนำการเพิ่มประชากรทั้ง 2 แบบ มาเปรียบเทียบกันจะได้ดังรูปที่ 1.1



(a) การเพิ่มประชากรแบบคงที่ (b) การเพิ่มประชากรแบบโลจิสติก

**รูปที่ 1.1** เปรียบเทียบการเข้าประชากรแบบคงที่และแบบโลจิสติก

แบบจำลองทางคณิตศาสตร์ที่เกี่ยวข้องกับการระบาดของโรคโดยส่วนมากจะเป็นแบบจำลองที่มีค่าตัวแปรเพิ่มขึ้นเรื่อยๆ ค่าที่ใช้ได้รับจากศิริบุญ (๒๕๖๗), ล้ำวงศ์ (๒๕๖๗), ตั้งเดชมนีสมุดตู้ (๒๕๖๗) กล่าวว่า “รูปที่ ๑.๑ แสดงให้เห็นว่า ตัวแปรต่อไปนี้มีผลต่อพัฒนาชีวประวัติของโรคแบบที่ ๑ ที่ใช้ในแบบจำลองการระบาด เช่น SIRB ของ Muhammad et al. (2015) ได้ศึกษาพบว่า มีจุดสมดุล ๒ จุด คือ จุดสมดุลที่อิสระจากโรค และจุดสมดุลที่โรคคงอยู่ เมื่อ  $R_0 < 1$  จุดสมดุลที่อิสระจากโรคมีเสถียรภาพ ถ้า  $R_0 > 1$  จุดสมดุลที่โรคคงอยู่มีเสถียรภาพและแบบจำลองการระบาด SIQS และ SIQR ของ Herbert, Zhien, and Shengbing (2002) ได้ศึกษาผลกระทบของการคัดแยกในแบบจำลอง SIQS และ SIQR ๖ แบบจำลอง โดยมีอัตราอุบัติการณ์ ๓ แบบ พบว่าแบบจำลองส่วนใหญ่ที่มีจุดสมดุลโรคคงอยู่จะมีเสถียรภาพและมี bifurcation ที่ถาวรชนิด เกิดขึ้นในบางแบบจำลอง สำหรับแบบจำลองการระบาดที่มีการเพิ่มขึ้นของประชากรแบบโลจิสติกได้มีการศึกษาแบบจำลองการระบาดของ Karam, Adil, and Youssef (2016) ได้ศึกษาแบบจำลองการเปลี่ยนแปลงของไวรัสตับอักเสบบี ด้วยการเพิ่มของเซลล์ตับแบบโลจิสติกและพบว่าเสถียรภาพของจุดสมดุลที่อิสระจากโรคและจุดสมดุลที่โรคคงอยู่ใช้การวิเคราะห์ผลเชิงตัวเลขในการพิจารณา”

ในงานวิจัยครั้งนี้ผู้วิจัยได้พัฒนาแบบจำลองทางคณิตศาสตร์ ที่เกี่ยวข้องกับการระบาดของโรคจากแบบจำลองการระบาดที่รู้จักกันในรูปแบบ SIQS ที่มีอัตราการเพิ่มของประชากรแบบคงที่ (Herbert, Zhien, & Shengbing, 2002) มาเป็นแบบจำลองการระบาดในรูปแบบ SIQS โดยมีอัตราการเพิ่มของประชากรแบบโลจิสติก

## 1.2 จุดประสงค์

- 1) เพื่อพัฒนาแบบจำลองการระบบ *SIQS* เมื่อมีการเพิ่มประชากรแบบโลจิสติก
- 2) เพื่อวิเคราะห์เสถียรภาพทางคณิตศาสตร์ของแบบจำลอง
- 3) ที่พัฒนาและทดสอบได้ตามที่ต้องการ

## 1.3 ขอบเขตการศึกษา

วิเคราะห์เสถียรภาพของแบบจำลองการระบบ *SIQS* เมื่อมีการเพิ่มประชากรแบบโลจิสติก

## 1.4 วิธีดำเนินการศึกษา

- 1) ศึกษาแบบจำลองทางคณิตศาสตร์และงานวิจัยที่เกี่ยวข้องกับการเพิ่มประชากรแบบโลจิสติก
- 2) พัฒนาแบบจำลองการระบบ *SIQS* ที่มีการเพิ่มประชากรแบบโลจิสติก
- 3) วิเคราะห์เสถียรภาพทางคณิตศาสตร์ของแบบจำลอง
- 4) ศึกษาผลของการแบบจำลอง
- 5) สรุปผลและประเมินผล
- 6) เขียนรายงานและส่งรายงาน

## 1.5 แผนดำเนินการศึกษา

ขั้นตอนการดำเนินงาน	พ.ศ.2561					
	ก.ค.	ส.ค.	ก.ย.	ต.ค.	พ.ย.	ธ.ค.
1. ศึกษาและวิจัยที่เกี่ยวกับห้องเรียนและเพิ่มช่องประชุมแบบออนไลน์						
2. พัฒนางานวิจัยแบบจำลองการระบบ SIQS ที่มีการเพิ่มประชากรแบบโลจิสติก						
3. วิเคราะห์เสถียรภาพทางคณิตศาสตร์ของแบบจำลอง						
4. ศึกษาผลเชิงตัวเลขของแบบจำลอง						
5. สรุปผลและประเมินผล						
6. เขียนรายงานและส่งรายงาน						

## 1.6 ประโยชน์ที่คาดว่าจะได้รับ

- 1) ได้แบบจำลองการระบบ SIQS ที่มีการเพิ่มประชากรแบบโลจิสติก
- 2) ได้เสถียรภาพทางคณิตศาสตร์ของแบบจำลอง
- 3) ได้ผลเชิงตัวเลขของแบบจำลอง

## บทที่ 2

### เอกสารและงานวิจัยที่เกี่ยวข้อง

ขอแสดงความยินดีแก่ครูผู้สอนและนักเรียนทุกท่าน ที่ได้เข้าร่วมในงานวิจัย และนำเสนอผลงานวิจัยที่เกี่ยวข้องกับหัวข้อพิมพ์ของประชากรแบบโลจิสติก และงานวิจัยที่เกี่ยวข้องดังนี้

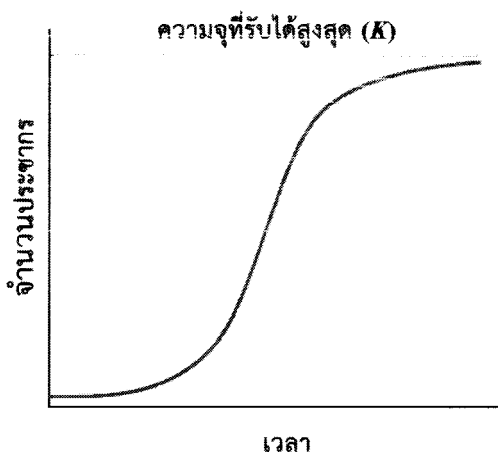
#### 2.1 ความรู้พื้นฐาน

#### 2.2 งานวิจัยที่เกี่ยวข้อง

#### 2.1 ความรู้พื้นฐาน

##### 2.1.1 ความรู้พื้นฐานเกี่ยวกับการเพิ่มของประชากรแบบโลจิสติก

การเพิ่มของประชากรแบบโลจิสติก เป็นการเพิ่มภายใต้ปัจจัยของสภาพแวดล้อม หรือตัวต้านทานในสิ่งแวดล้อม ในธรรมชาติปัจจัยที่จำเป็นต่อการดำรงชีวิตมักมีอยู่จำกัด จำนวนสมาชิกในประชากรจึงจะมีขีดจำกัด ณ จุดหนึ่น ที่เรียกว่าจุดเสถียร ที่จะไม่สามารถเพิ่มต่อไปได้อีก นี่เรียกว่า ความจุที่รับได้สูงสุด (Carrying Capacity) ใช้สัญลักษณ์  $K$  ระยะแรกของการเพิ่มประชากร จะมีอัตราการเพิ่มค่อนข้างสูง เมื่อถึงจุดหนึ่ง อัตราการเพิ่มเริ่มลดลงเรื่อย ๆ จนถึงระดับคงที่ คือ ไม่มีการเปลี่ยนแปลงเท่ากับระดับความจุที่รับได้สูงสุดเป็นระดับที่สภาพแวดล้อมสามารถเลี้ยงดู ประชากรได้มากที่สุดนั่นเอง กราฟการเพิ่มของประชากรแบบนี้เรียกว่า Logistic Growth Curve มีลักษณะเป็นรูปอักษรเอส (S-Shaped Growth Curve)



รูปที่ 2.1 กราฟการเพิ่มของประชากรแบบ Logistic Population Growth

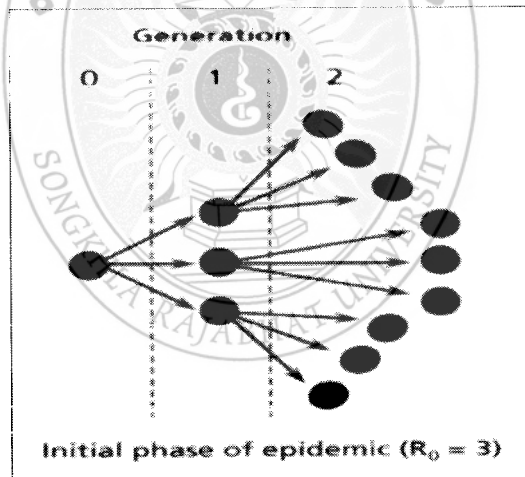
การเพิ่มของประชากรแบบ Logistic Growth ในธรรมชาติประชากรไม่ได้คงที่ อยู่ที่ระดับความจุที่รับได้สูงสุดตลอดเวลา แต่มีการเปลี่ยนแปลงเพิ่มขึ้นลดลง (Population Fluctuation) ที่มีรูปแบบแน่นอนเป็นวัฏจักร (Population Cycle) ทั้งนี้เนื่องมาจากการมีประชากรเพิ่มมากขึ้นทำให้ค่าหารและที่อยู่อาศัยแคลน ย่อมมีการแย่งแย่งแข่งขัน (Competition) กันในสมាជິດด้วยกัน ตลอดจนมีการสะสมของเสียงมากขึ้น จึงทำให้ระบบที่สร้างผลิตสิ่งเมียเมือง รวมไปถึงพืชไม้หายากขึ้น ประสาทภัยกลับมาเพิ่มขึ้น (George B. Johnson, 1997)

### 2.1.2 ความรู้พื้นฐานเกี่ยวกับค่าระดับการติดเชื้อ

เจษฎา เด็นดวงบริพันธ์ (2547) ค่าระดับการติดเชื้อกองโรค (Basic reproductive number) คำนวณโดยใช้สัญลักษณ์  $R_0$  หมายถึง จำนวนเฉลี่ยของผู้ติดเชื้อร้อยใหม่ในประชากรกลุ่มเดียวกันที่เกิดขึ้นจากผู้ป่วยรายแรกพร้อมเชื้อให้

ถ้า  $R_0 < 1$  หมายความว่า การติดเชื้อของโรคลดลงหรือไม่มีการติดเชื้อของโรคในบริเวณที่ศึกษา

ถ้า  $R_0 > 1$  หมายความว่า การติดเชื้อจะเกิดขึ้นได้เสมอ หรือโรคมีโอกาสกลับมาติดเชื้ออีกครั้ง



รูปที่ 2.2 แสดงตัวอย่างค่าระดับการติดเชื้อมีค่าเท่ากับ 3

### 2.1.3 ความรู้พื้นฐานเกี่ยวกับเมทริกซ์

#### การแปลงระบบสมการเชิงเส้นให้อยู่ในรูปเมทริกซ์

ในการหาผลเฉลยของระบบสมการเชิงเส้นสามารถทำได้สะดวกยิ่งขึ้นโดยการแปลงระบบสมการให้อยู่ในรูปเมทริกซ์มีวิธีดังต่อไปนี้

พรพิศ ยิ่มประยูร (2557) ได้พิจารณาระบบสมการเชิงเส้น ดังนี้

$$\begin{aligned} a_{11}x_1 + a_{12}x_2 + \dots + a_{1n}x_n &= b_1 \\ a_{21}x_1 + a_{22}x_2 + \dots + a_{2n}x_n &= b_2 \\ &\vdots \\ a_{m1}x_1 + a_{m2}x_2 + \dots + a_{mn}x_n &= b_m \end{aligned} \tag{2.1}$$

กำหนดเมทริกซ์  $A, X$  และ  $B$  ดังต่อไปนี้

$$A = \begin{bmatrix} a_{11} & a_{12} & \dots & a_{1n} \\ a_{21} & a_{22} & \dots & a_{2n} \\ \dots & \dots & \dots & \dots \\ a_{m1} & a_{m2} & \dots & a_{mn} \end{bmatrix}, X = \begin{bmatrix} x_1 \\ x_2 \\ \dots \\ x_n \end{bmatrix}, B = \begin{bmatrix} b_1 \\ b_2 \\ \dots \\ b_m \end{bmatrix}$$

ระบบสมการ (2.2) สามารถเขียนในรูปของเมทริกซ์  $AX = B$

เรียกเมทริกซ์  $A$  ว่า เมทริกซ์สัมประสิทธิ์ (Coeficient matrix)

เรียกเมทริกซ์  $X$  ว่า เมทริกซ์ตัวแปร (Variable matrix)

เรียกเมทริกซ์  $B$  ว่า เมทริกซ์ค่าคงตัว (Constant matrix)

และเรียกเมทริกซ์  $[A|B]$  ว่า เมทริกซ์แต่งเติม (Augmented matrix) โดยที่

$$[A|B] = \left[ \begin{array}{cccc|c} a_{11} & a_{12} & \dots & a_{1n} & b_1 \\ a_{21} & a_{22} & \dots & a_{2n} & b_2 \\ \vdots & \vdots & \ddots & \vdots & \vdots \\ a_{m1} & a_{m2} & \dots & a_{mn} & b_m \end{array} \right] \tag{2.2}$$

**ทฤษฎีบท 2.1** (โภมส จอร์จ, 2548) กำหนด  $A$  เป็นเมทริกซ์ตัวสมมติ  $n \times n$  และ เมทริกซ์ผกผันของ เมทริกซ์  $A$  คือ  $A^{-1} = \frac{1}{\det(A)} \times \text{adj}(A)$  โดยที่  $\text{adj}(A)$  คือ เมทริกซ์ขนาด  $n$  ซึ่งมีสมาชิกในตำแหน่ง แผ่นที่  $i$  และ หลักที่  $j$  เป็นตัวประกอบร่วมเกี่ยว  $A_{ij}$  ของ  $a_{ij}$

$$\text{adj}(A) = \begin{bmatrix} A_{11} & A_{21} & \dots & A_{n1} \\ A_{12} & A_{22} & \dots & A_{n2} \\ \vdots & \vdots & \ddots & \vdots \\ A_{1n} & A_{2n} & \dots & A_{nn} \end{bmatrix} = [A_{ij}]^t$$

เข่น ถ้า

$$A = \begin{bmatrix} a & b \\ c & d \end{bmatrix}$$

$$A^{-1} = \frac{1}{ad - bc} \begin{bmatrix} d & -b \\ -c & a \end{bmatrix}$$

**บทนิยาม 2.1** (ดำรงค์ พิพิธโยธา, 2558) ให้  $f_1, f_2, \dots, f_n$  เป็นฟังชันก์ของตัวแปร  $x_1, x_2, \dots, x_n$  และอนุพันธ์ย่ออย  $\frac{\partial f_i}{\partial x_j}$  มีค่าทุกค่า  $i = 1, 2, \dots, n$  และ  $j = 1, 2, \dots, n$  จะโคเบียนดีเทอร์มิแนนท์ ของ  $f_1, f_2, \dots, f_n$  หรือเรียกโดยย่อว่า จาโคเบียน ของ  $f_1, f_2, \dots, f_n$  เทียบกับตัวแปร  $x_1, x_2, \dots, x_n$  โดยที่ดีเทอร์มิแนนท์ คือ

$$\begin{vmatrix} \frac{\partial f_1}{\partial x_1} & \frac{\partial f_1}{\partial x_2} & \cdots & \frac{\partial f_1}{\partial x_n} \\ \frac{\partial f_2}{\partial x_1} & \frac{\partial f_2}{\partial x_2} & \cdots & \frac{\partial f_2}{\partial x_n} \\ \vdots & \vdots & & \vdots \\ \frac{\partial f_n}{\partial x_1} & \frac{\partial f_n}{\partial x_2} & \cdots & \frac{\partial f_n}{\partial x_n} \end{vmatrix}$$

สัญลักษณ์ที่ใช้แทนจาโคเบียน ของ  $f_1, f_2, \dots, f_n$  เทียบกับตัวแปร  $x_1, x_2, \dots, x_n$  แทนด้วย  $\frac{\partial(f_1, f_2, \dots, f_n)}{\partial(x_1, x_2, \dots, x_n)}$

เมื่อ

$$\frac{\partial(f_1, f_2, \dots, f_n)}{\partial(x_1, x_2, \dots, x_n)} = \begin{vmatrix} \frac{\partial f_1}{\partial x_1} & \frac{\partial f_1}{\partial x_2} & \cdots & \frac{\partial f_1}{\partial x_n} \\ \frac{\partial f_2}{\partial x_1} & \frac{\partial f_2}{\partial x_2} & \cdots & \frac{\partial f_2}{\partial x_n} \\ \vdots & \vdots & & \vdots \\ \frac{\partial f_n}{\partial x_1} & \frac{\partial f_n}{\partial x_2} & \cdots & \frac{\partial f_n}{\partial x_n} \end{vmatrix}$$

**บทนิยาม 2.2** (อวิสสา ฉัตรกิจวรุณ, 2542) ให้  $A$  เป็นเมทริกซ์จัตุรัสขนาด  $n$  และ  $\mathbf{x}$  เป็นเวกเตอร์ที่ไม่เป็นศูนย์ใน  $\mathbb{R}^n$  เราจะเรียก  $\mathbf{x}$  ว่าเป็นเวกเตอร์ลักษณะเฉพาะ (Eigenvector) ของ  $A$  ก็ต่อเมื่อ

$$A\mathbf{x} = \lambda\mathbf{x}$$

สำหรับบางค่าสเกลาร์  $\lambda$

สเกลาร์  $\lambda$  เรียกว่า ค่าลักษณะเฉพาะของ  $A$  (Eigenvalue) นอกจากนี้  $\mathbf{x}$  ยังเรียกได้ว่า เป็นเวกเตอร์ลักษณะเฉพาะที่สมนัยกับ  $\lambda$  (Eigenvector corresponding to  $\lambda$ )

**บทนิยาม 2.3** (ยาริสา ฉัตรกิจวุฒิ, 2542) ให้  $A$  เป็นเมทริกซ์จตุรัสขนาด  $n$  ค่า  $\det(A - \lambda I_n)$  เรียกว่า พหุนามลักษณะเฉพาะ (characteristic polynomial) และสมการ

$$\det(A - \lambda I_n) = 0$$

เรียกว่า สมการลักษณะเฉพาะ (characteristic equation)

**บทนิยาม 2.4** (อังคณา ศรีพยัพ, 2560) ให้  $\lambda_1, \lambda_2, \dots, \lambda_n$  เป็นค่าลักษณะเฉพาะของเมทริกซ์  $A$  เป็นเมทริกซ์ขนาด  $n \times n$  แล้วเซต  $\{\lambda_1, \lambda_2, \dots, \lambda_n\}$  จะเรียกว่า สเปกตรัมของ  $A$  (Spectrum of A) และเรียก  $\rho(A) = \max\{|\lambda_i|\}$  ว่า รัศมีสเปกตรัมของ  $A$  (Spectral radius of A)

### การหารากของ Routh- Hurwitz

Gantmacher (1959, p.213) (อ้างถึงใน อีร์วัตัน จึงสรรค์ศุภชัย, พนมกร ตาลพรณ และชัยธนัช ประภัสสรทัย, 2554, น.11) แสดงเงื่อนไขจำเป็นและเพียงพอที่ทำให้รากทั้งหมดของพหุนามมีส่วนจริงเป็นลบดังทฤษฎีบทต่อไปนี้

**ทฤษฎีบท 2.2** ก้าหนดให้สมการพหุนามกำลัง  $n$  คือ

$$P(A) = \lambda^n + a_1 \lambda^{n-1} + \dots + a_{n-1} \lambda + a^n$$

ซึ่งค่าสัมประสิทธิ์คือ ค่าคงที่จริง  $i = 1, \dots, n$  ก้าหนด  $n$  เมทริกซ์โดยค่าสัมประสิทธิ์  $a_i$  ของลักษณะเฉพาะพหุนาม

$$H_1 = (a_1), H_2 = \begin{pmatrix} a_1 & 1 \\ a_3 & a_2 \end{pmatrix}, H_3 = \begin{pmatrix} a_1 & 1 & 0 \\ a_2 & a_2 & a_1 \\ a_5 & a_4 & a_3 \end{pmatrix}$$

และ

$$H_n = \begin{pmatrix} a_1 & 1 & 0 & 0 & \dots & 0 \\ a_3 & a_2 & a_1 & 1 & \dots & 0 \\ a_1 & a_1 & a_1 & a_1 & \dots & 0 \\ \vdots & \vdots & \vdots & \vdots & \dots & \vdots \\ 0 & 0 & 0 & 0 & \dots & a_1 \end{pmatrix}$$

เมื่อ  $a_j = 0$  ถ้า  $j > n$  รากทั้งหมดของพหุนาม  $\rho(\lambda)$  เป็นจำนวนจริงลบหรือจำนวนเชิงซ้อนที่มีส่วนจริงลบ ก็ต่อเมื่อตัวกำหนดของเมทริกซ์ไฮร์วิช (Hurwitz) ทั้งหมดเป็นบวก

$$\det H_j > 0, j = 1, 2, \dots, n$$

เมื่อ  $n = 2$  ซึ่งเป็นเชอร์วิช ที่สามารถหาได้ง่าย คือ  $\det H_1 = a_1 > 0$  และ

$$\det H_1 = \det \begin{pmatrix} a_1 & 1 \\ 0 & a_2 \end{pmatrix} = a_1 a_2 > 0$$

หรือ  $a_1 > 0$  และ  $a_2 > 0$  สำหรับพจนานุกรมที่  $n = 2, 3, 4$  และ  $5$  สามารถหาได้จากน้ำหน้าห้องเรียน (Routh-Hurwitz) เมื่อ  $n = 2 : a_1 > 0$  และ  $a_2 > 0$

$$n = 3 : a_1 > 0, a_3 > 0 \text{ และ } a_1 a_2 > a_3$$

$$n = 4 : a_1 > 0, a_3 > 0, a_4 > 0 \text{ และ } a_1 a_2 a_3 > a_3^2 + a_1^2 a_4$$

$$n = 5 : a_i > 0; i = 1, 2, 3, 4, 5, a_1 a_2 a_3 > a_3^2 + a_1^2 a_4 \text{ และ}$$

$$(a_1 a_4 - a_5)(a_1 a_2 a_3 - a_3^2 - a_1^2 a_4) > a_5(a_1 a_2 - a_3)^2 + a_1 a_5^2$$

#### 2.1.4 การหาค่าระดับการติดเชื้อของแบบจำลองโดยใช้วิธีรุ่นถัดไป

วิธีรุ่นถัดไปถูกนำมาใช้ครั้งแรกโดย Diekmann, Heesterbeek, and Metz (1990) เป็นวิธีที่นำไปในการหา  $R_0$  สำหรับ ตัวแบบที่มีการแบ่งกลุ่มปั่นป่วน ทราบกันเป็นหลักหลายลักษณะ เช่น ตาม [https://www.ncbi.nlm.nih.gov/pmc/articles/PMC4987147/](#) ที่ระบุว่า “ $R_0$  คือ วิธีที่ “ $\mathcal{N}$ ” ต้องติดเชื้อ “ $\mathcal{S}$ ” จำนวน “ $\mathcal{E}$ ” จึงจะคงอยู่ในระบบ” Diekmann และ Heesterbeek ในปี 2000 แสดงถึงความสำคัญของงานนี้ ได้ถูกนำเสนอในรายงานความต่อและได้ถูกนำมาประยุกต์ใช้อย่างต่อเนื่องโดยสรุป ในวิธีนี้  $R_0$  จะถูกคำนวณจาก Spectral radius ของตัวดำเนินการรุ่นถัดไป (next generation operator) ดังนั้น จึงจำเป็นต้องสร้างตัวดำเนินการรุ่นถัดไป สำหรับตัวแบบที่กำลังพิจารณาเสียก่อนซึ่งก็จะพิจารณาจาก กลุ่มของผู้ติดเชื้อและกลุ่มที่ไม่ติดเชื้อนั่นเอง

สมมติให้ประชากรถูกแบ่งออกเป็น  $n$  กลุ่ม โดยกำหนดให้มี  $m$  กลุ่มที่เป็นกลุ่มของผู้ติดเชื้อ นิยาม เวลาเดียวกัน  $\bar{x} = x_i, i = 1, \dots, n$  เมื่อ  $x_i$  แทนจำนวนหรือสัดส่วนของคนที่อยู่ในกลุ่มที่  $i$   $F_i(\bar{x})$  เป็นอัตราของการเกิดการติดเชื้อใหม่ในกลุ่มที่  $i$  ไม่รวมการส่งผ่านของคนที่ติดเชื้อจากกลุ่มหนึ่งไปยังอีกกลุ่มหนึ่ง

$$\text{ให้ } V_i(\bar{x}) = V_i^-(\bar{x}) - V_i^+(\bar{x})$$

เมื่อ  $V_i^+(\bar{x})$  เป็นอัตราของการส่งผ่านของคนไปยังกลุ่ม  $i$

และ  $V_i^-(\bar{x})$  เป็นอัตราของการส่งผ่านของคนออกจากกลุ่ม  $i$

จะเห็นได้ว่า อัตราการเปลี่ยนแปลงของ  $x_i$  เทียบกับเวลา เป็นดังนี้

$$x_i = F_i(\bar{x}) - V_i(\bar{x}) \quad (2.3)$$

และกำหนดให้  $X_s$  เป็นกลุ่มของทุกโรคที่อิสระต่อกัน กล่าวคือ

$$X_s = x \geq 0 \mid x_i = 0, i = 1, \dots, m \quad (2.4)$$

$F_i$  และ  $V_i$  จะต้องเป็นฟังก์ชันที่สอดคล้องกับสมมติฐาน (A1 - A5) ดังนี้

$$(A1) \text{ ถ้า } x \geq 0 \text{ แล้ว } F_i(V_i^+ V_i^-) \geq 0 \text{ สำหรับ } i = 1, \dots, n$$

(A2) ถ้า  $x_i = 0$  และ  $V_i^+ = 0$  โดยเฉพาะอย่างยิ่ง ถ้า  $x \in X_s$  และ  $V_i^+ = 0$  สำหรับ  $i = 1, \dots, m$

(A3)  $F_i = 0$  ถ้า  $i > m$  ประชากรที่อิสระจากโรคแล้วประชากรจะยังคงเป็นอิสระจากโรค นั้นคือ ไม่มีการกลับมาติดเชื้ออีก

$$(A4) \text{ ถ้า } x \in X_s \text{ และ } F_i(\bar{x}) \text{ และ } V_i^+(\bar{x}) \text{ สำหรับ } i = 1, \dots, m$$

(A5) ถ้า  $F(x)$  ถูกกำหนดเป็นศูนย์ และค่าลักษณะเฉพาะของ  $Df(x_0)$  มีค่าจริงบางส่วนที่ ติดลบ สมมติว่า  $F_i$  และ  $V_i$  สอดคล้องกับสมมติฐานที่กำหนด เราสามารถสร้างเมทริกซ์ (ตัวดำเนิน การ) รุ่นถัดไป ในรูปผลคูณ  $FV^{-1}$

$$\text{เมื่อ } F = \left[ \frac{\partial F_i(x_0)}{\partial x_j} \right] \text{ และ } V = \left[ \frac{\partial V_i(x_0)}{\partial x_j} \right] \text{ สำหรับ } i, j = 1, \dots, m$$

เมื่อ  $x_0$  หมายความว่า สมดุล โรค (Disease free equilibrium)

$$V^{-1} \text{ หมายถึง เมทริกซ์ผกผันของเมทริกซ์ } V$$

$FV^{-1}$  หมายถึง อัตราที่เชิงคนที่ติดเชื้อใน  $x_j$  ทำให้เกิดผู้ติดเชื้อรายใหม่ใน  $x_i$  คูณด้วยระยะ เวลาเฉลี่ยของการอยู่ในกลุ่ม  $j$  ดังนั้น

$$R_0 = \rho(FV^{-1}) \quad (2.5)$$

เมื่อ  $\rho(FV^{-1})$  ถูกกำหนดให้เป็นรัศมีスペกตรัม (spectral radius) หรือ พจน์เด่นชัดของค่าลักษณะ เฉพาะ (dominant eigenvalue) ของเมทริกซ์  $FV^{-1}$

**หมายเหตุ :** การหาค่าระดับการติดเชื้อของแบบจำลองการระบาด ส่วนใหญ่จะใช้วิธีรุ่นถัดไป เพราะมี ความสอดคล้องง่ายต่อการคำนวณ ซึ่งในโครงงานครั้งนี้จะนำเสนอวิธีการหาค่าระดับการติดเชื้อด้วย วิธีรุ่นถัดไป

## 2.2 งานวิจัยที่เกี่ยวข้อง

Muhammad et al. (2015) ได้ศึกษาพบว่า อหิวาต์โรคเป็นการติดเชื้อในลำไส้เล็ก โดยมี สาเหตุมาจากการเชื้อแบคทีเรียบิบริโคลาเออเร (Vibrio cholerae) ที่ปนเปื้อนอยู่ในน้ำและอาหาร เชื้อวิ บริโคลาเออเรมีอยู่ 200 ชีโกรัฐ ซึ่งจะมีบิบริโคลาเออเร 01 และ 0139 เท่านั้นที่เป็นเหตุให้เกิด

อหิวัตก์โรค เชื้อสาเหตุของโรคคือ วิบาริโโยคอเลอเร 01 และอวิบาริโอยคอเลอเร 0139 โดยเชื้อจะผ่านและอยู่รอดในน้ำย่อยในกระเพาะอาหาร และเจาะเยื่อเมือกที่เคลือบเยื่อบุผิวลำไส้ อาการหลักคือท้องร่วง และอาเจียน ซึ่งอาจจะส่งผลให้สูญเสียน้ำ และในกรณีที่รุนแรงผิวจะกลایเป็นสีเทา (ชีด) การเกิดโรคส่วนใหญ่เกิดจากอาการดื้มน้ำหรือรับประทานอาหารที่มีสารปนเปื้อนของผู้ติดเชื้อ รวมไปถึงผู้ที่ไม่มีเชื้อ บริษัทฯ

แบบจำลองทางคณิตศาสตร์หลายรูปแบบที่เกี่ยวข้องกับการสร้างแบบจำลองอหิวัตก์โรค ในบทความนี้นำแบบจำลองทางคณิตศาสตร์ของอหิวัตก์โรคในรูปแบบของแบบจำลองทางคณิตศาสตร์ SIRB ประชากรถูกแบ่งออกเป็น 3 กลุ่ม ได้แก่ กลุ่มเสี่ยงต่อการติดเชื้อ  $S(t)$  กลุ่มที่ติดเชื้อ  $I(t)$  กลุ่มที่หายจากการติดเชื้อ  $R(t)$  โดยเงื่อนไข  $N(t) = S(t) + I(t) + R(t)$  และกลุ่มประชากรที่ติดเชื้อแต่ยังไม่แสดงอาการ  $B(t)$  ในเวลา  $t$  แบบจำลองการระบาดของอหิวัตก์โรคในระบบสมการเชิงอนุพันธ์ ดังนี้

$$\begin{aligned} \frac{dS}{dt} &= \Lambda - \mu S(t) - \frac{\beta_b S(t)B(t)}{1 + a_1 B(t)} - \frac{\beta_s S(t)I(t)}{1 + a_2 I(t)} \\ \frac{dI}{dt} &= \frac{\beta_b S(t)B(t)}{1 + a_1 B(t)} + \frac{\beta_s S(t)I(t)}{1 + a_2 I(t)} - (\mu_0 + \mu + \phi)I(t) \\ \frac{dR}{dt} &= \phi I(t) - \mu R(t) \\ \frac{dB}{dt} &= \varepsilon I(t) - dB(t) \end{aligned} \quad (2.6)$$

โดยมีเงื่อนไขค่าเริ่มต้นที่ไม่เป็นลบ และเพื่อความสะดวกจะเขียน  $S(t), I(t), R(t)$  และ  $B(t)$  เป็น  $S, I, R$  และ  $B$  ตามลำดับ

$$S = S_0 \geq 0, I = I_0 \geq 0, R = R_0 \geq 0, B = B_0 \geq 0 \quad (2.7)$$

เนื่องจากสมการ  $S, I$  และ  $B$  ในระบบสมการ (2.7) อิสระจากตัวแปร  $R$  กำหนดสมการดังต่อไปนี้

$$\begin{aligned} \frac{dS}{dt} &= \Lambda - \mu S - \frac{\beta_b SB}{1 + a_1 B} - \frac{\beta_s SI}{1 + a_2 I} \\ \frac{dI}{dt} &= \frac{\beta_b SB}{1 + a_1 B} + \frac{\beta_s SI}{1 + a_2 I} - (\mu_0 + \mu + \phi)I \\ \frac{dB}{dt} &= \varepsilon I - dB \end{aligned} \quad (2.8)$$

ดังนั้นจากการศึกษาพบว่า มีจุดสมดุล 2 จุด คือ จุดสมดุลที่อิสระจากโรค และ จุดสมดุลที่โรคคงอยู่ เมื่อค่าระดับการติดเชื้อพื้นฐานน้อยกว่าหนึ่ง ( $R_0 < 1$ ) จุดสมดุลที่อิสระจากโรคมีเสถียรภาพ ถ้าค่าระดับการติดเชื้อขึ้นพื้นฐานมากกว่าหนึ่ง ( $R_0 > 1$ ) จุดสมดุลที่โรคคงอยู่มีเสถียรภาพ

Herbert, Zhien, and Shengbing (2002) ได้ศึกษาผลกระทบของการคัดแยกในแบบจำลอง  $SIQS$  และ  $SIQR$  6 แบบจำลอง โดยมีอัตราอุบัติการณ์ 3 แบบดังนี้

1) แบบจำลอง  $SIQS$  ที่มีอุบัติการณ์ทั่วไป

จำนวนประชากรทั้งหมด  $N(t)$  แบ่งออกเป็นสามส่วนด้วยกัน คือ  $N(t) = S(t) + I(t) + Q(t)$  โดยที่  $S$  คือ จำนวนประชากรที่ไม่ติดเชื้อ  $I$  คือ จำนวนประชากรที่ติดเชื้อแต่ไม่แสดงอาการ  $Q$  คือ จำนวนประชากรที่ถูกคัดแยก ระยะเวลาแฝงซึ่งบุคคลนั้นติดเชื้อ แต่ยังไม่ติดเชื้อถูกเพิกเฉยและสั่นนิษฐานว่าการติดเชื้อนั้นไม่ได้ให้ภูมิคุ้มกัน รุนแรงนี้เรียกว่าแบบจำลอง  $SIQS$  แบบทั่วไป เนื่องจากเส้นทางป哥ติหนึ่งเส้นทางผ่าน  $S$  ไปยัง  $I$  จากนั้นไป  $Q$  จานนี้กลับไปที่  $S$  สมการเชิงอนุพันธ์สำหรับแบบจำลอง  $SIQS$  นี้คือ

$$\begin{aligned} S'(t) &= A - \beta SI - dS + \gamma I + \varepsilon Q \\ I'(t) &= [\beta S - (\gamma + \delta + d + \alpha)] I \\ Q'(t) &= \delta I - (\varepsilon + d + \alpha) Q \end{aligned} \quad (2.9)$$

2) แบบจำลอง  $SIQS$  ที่มีอุบัติการณ์มาตรฐาน

ตอนนี้พิจารณาแบบจำลอง  $SIQS$  ที่มีอุบัติการณ์มาตรฐาน คือ  $\beta SI/(S+I+Q)$  แทนที่  $\beta SI$  ของสมการ (2.9) แบบจำลอง  $SIQS$  คล้ายกับที่แสดงในสมการ (2.10) ยกเว้นอุบัติการณ์การติดเชื้อกลับไป รั้งไว้  $\beta SI$  จะถูกแทนที่ด้วยอุบัติการณ์มาตรฐาน  $\beta SI/(S+I+Q)$  ดังนั้นแบบจำลอง  $SIQS$  ใหม่คือ

$$\begin{aligned} S'(t) &= A - \beta SI/(S+I+Q) - dS + \gamma I + \varepsilon Q \\ I'(t) &= [\beta S/(S+I+Q) - (\gamma + \delta + d + \alpha)] I \\ Q'(t) &= \delta I - (\varepsilon + d + \alpha) Q \end{aligned} \quad (2.10)$$

3) แบบจำลอง  $SIQS$  ที่มีอุบัติการณ์ปรับจากที่ถูกกักกัน

ตอนนี้พิจารณาแบบจำลอง  $SIQS$  พร้อมกับอุบัติการณ์ที่ปรับตามการกักกันโรคนี้คือ ตัวหาร ( $N$ ) ในอุบัติการณ์มาตรฐาน  $\beta SI/N$  ถูกแทนที่ด้วยประชากรที่ปะปนกัน  $N - Q = S + I$  เพื่อให้ได้รับการปรับอัตราการเกิดโรค  $\beta SI/(S + I)$  เปลี่ยนสมการสำหรับแบบจำลอง  $SIQS$  คล้ายกับที่แสดงในสมการ (2.10) ยกเว้นว่าอุบัติการณ์การดำเนินการจำนวนมากแบบทั่วไป  $\beta SI$  จะถูกแทนที่ด้วย  $\beta SI/(S + I)$  ดังนั้นแบบจำลอง  $SIQS$  ใหม่คือ

$$\begin{aligned} S'(t) &= A - \beta SI/(S+I) - dS + \gamma I + \varepsilon Q \\ I'(t) &= [\beta S/(S+I) - (\gamma + \delta + d + \alpha)] I \\ Q'(t) &= \delta I - (\varepsilon + d + \alpha) Q \end{aligned} \quad (2.11)$$

#### 4) แบบจำลอง $SIQR$ ที่มีอุบัติการณ์ทั่วไป

สมมติว่าการติดเชื้อนั้นสร้างภูมิคุ้มกันภารเพื่อให้ประชากรสามารถย้ายจากกลุ่ม  $I$  และ  $Q$  ไปยังกลุ่ม  $R$  โดยที่  $R$  คือ จำนวนประชากรที่มีภูมิคุ้มกันภารและ  $N(t) = S(t) + I(t) + Q(t) + R(t)$  ในแบบจำลอง  $SIQR$  นี้เข้ามายังกลุ่ม  $S$  ไปยังกลุ่ม  $I$  จากนั้นตรงไปที่กลุ่ม  $R$  หรือกลุ่ม  $Q$  จากนั้นไปที่กลุ่ม  $R$  สมมติว่าเขิงอนพัฒน์ส์ เหร้าและฯ จัดทำ  $SIQS$  นี้คือ

$$\begin{aligned} S'(t) &= A - \beta SI - dS \\ I'(t) &= [\beta S - (\gamma + \delta + d + \alpha_1)] I \\ Q'(t) &= \delta I - (d + \alpha_2 + \varepsilon) Q \\ R'(t) &= \gamma I + \varepsilon Q - dR \end{aligned} \quad (2.12)$$

#### 5) แบบจำลอง $SIQR$ ที่มีอุบัติการณ์มาตรฐาน

เปลี่ยนสมการสำหรับแบบจำลอง  $SIQR$  คล้ายกับที่แสดงในสมการ (2.13) ยกเว้นว่าอุบัติการณ์การดำเนินการจำนวนมากแบบทั่วไป  $\beta SI$  จะถูกแทนที่ด้วยอุบัติการณ์มาตรฐาน  $\beta SI/N$  เมื่อ  $N = S + I + Q + R$  แบบจำลอง  $SIQR$  นี้คือ

$$\begin{aligned} S'(t) &= A - \beta SI/N - dS \\ I'(t) &= [\beta S/N - (\gamma + \delta + d + \alpha_1)] I \\ Q'(t) &= \delta I - (d + \alpha_2 + \varepsilon) Q \\ R'(t) &= \gamma I + \varepsilon Q - dR \end{aligned} \quad (2.13)$$

#### 6) แบบจำลอง $SIQR$ ที่มีอุบัติการณ์ปรับจากที่ถูกกักกัน

เปลี่ยนสมการสำหรับแบบจำลอง  $SIQR$  คล้ายกับที่แสดงในสมการ (2.13) ยกเว้นว่าอุบัติการณ์การดำเนินการจำนวนมากแบบทั่วไป  $\beta SI$  จะถูกแทนที่ด้วยอุบัติการณ์ที่ปรับตามการกักกัน  $\beta SI/(S + I + R)$  แบบจำลองนี้ใช้แบบจำลอง  $SIQR$  ของ Feng และ Thieme ในสองวิธีที่เด่น มีบางคนที่เดินทางโดยตรงจากกลุ่ม  $I$  ถึงกลุ่ม  $R$  โดยไม่ต้องผ่านกลุ่มกักกันและรวมถึงการเสียชีวิตที่เกี่ยวข้องกับโรค แบบจำลอง  $SIQR$  นี้คือ

$$\begin{aligned} S'(t) &= A - \beta SI/(S + I + R) - dS \\ I'(t) &= [\beta S/(S + I + R) - (\gamma + \delta + d + \alpha_1)] I \\ Q'(t) &= \delta I - (d + \alpha_2 + \varepsilon) Q \\ R'(t) &= \gamma I + \varepsilon Q - dR \end{aligned} \quad (2.14)$$

ดังนั้นจากการศึกษาแบบจำลอง  $SIQS$  และ  $SIQR$  พบว่าแบบจำลองส่วนใหญ่ที่มีจุดสมดุลโรคคงอยู่จะมีเส้นริบภาพและมี bifurcation หลายชนิดเกิดขึ้นในบางแบบจำลอง

Karam, Adil, and Youssef (2016) ได้ศึกษาแบบจำลองที่อธิบายถึงพลวัตของรูปแบบการติดเชื้อไวรัสตับอักเสบชนิดบีที่มีการเติบโตของตับและการต่อสัมภាន CTI, ไวรัสตับอักเสบเกี๊ย (HBV) เป็นปัจจัยสาเหตุที่สำคัญที่มีผู้เสียชีวิตมากที่สุด 5 ล้านคนต่อปี โรคที่รุนแรงนี้สามารถติดต่อได้ง่ายผ่านการสัมผัสกับร่างกายที่ติดเชื้อและตัวอย่างเช่น การติดเชื้อมากกว่าเอชไอวี 100 เท่า (human immunodeficiency virus)

ในช่วงสองทศวรรษที่ผ่านมาแบบจำลองทางคณิตศาสตร์จำนวนมากได้รับการพัฒนาเพื่ออธิบายและเข้าใจพลวัตของการติดเชื้อไวรัสตับอักเสบบี เมื่อเร็ว ๆ นี้งานบางชิ้นได้ร่างกรุงเทพฯ จำลองก้อนหน้าโดยการแทนที่การฉีดเข้าหัวเซลล์ตับที่ต้องสุขภาพด้วยฟังก์ชันการเติบโตแบบโลจิสติก การเปลี่ยนแปลงนี้เสริมสร้างพลวัตของแบบจำลองการเกิดโรค HBV ในบทความนี้จะพิจารณาการเพิ่มของเซลล์ตับแบบโลจิสติกซึ่งเป็นหน้าที่ของอุบัติการณ์มาตรฐานและจะศึกษาบทบาทของระบบภูมิคุ้มกันของเซลล์ในการควบคุมการจำลองแบบเชิงไวรัส เพิ่มจากเดิมที่พิจารณาจะได้ร่างการกำหนด โดยระบุรายละเอียดต่อไปนี้

$$\begin{aligned} \frac{dx}{dt} &= r\chi(t)(1 - \frac{I(t)}{I_m}) - \beta \frac{\chi(t)x(t)}{T(t)} \\ \frac{dy}{dt} &= \beta \frac{\chi(t)x(t)}{T(t)} - ay(t) - py(t)z(t) \\ \frac{dv}{dt} &= ky(t) - \mu v \\ \frac{dz}{dt} &= cy(t)z(t) - bz(t) \end{aligned} \quad (2.15)$$

เมื่อ  $T(t) = x(t) + y(t)$

ข้อมูลเริ่มต้น คือ  $x(0) = x_0, y(0) = y_0, v(0) = v_0$  และ  $z(0) = z_0$

ในแบบจำลองนี้  $x, y, v$  และ  $z$  แสดงถึงความเข้มข้นของเซลล์ที่ไม่ได้รับเชื้อเซลล์ที่ติดเชื้อไวรัส อิสระ และเซลล์ Cytotoxic T-Lymphocyte (CTL) ตามลำดับ เซลล์ตับที่ไม่ติดเชื้อจะเติบโตในอัตราที่ขึ้นอยู่กับขนาดของตับ  $T_m$  ที่อัตราการแพร่กระจายสูงสุดของประชากรต่อหัว ( $r$ ) เซลล์ตับที่มีสุขภาพดีจะติดเชื้อไวรัสในอัตรา  $\beta \frac{vx}{T}$  เมื่อ  $\beta$  คือ ค่าคงที่ของการเคลื่อนไหว เซลล์ที่ติดเชื้อันด้วยในอัตรา  $ay$  และถูกฆ่าโดยการตอบสนองของ CTL ที่อัตรา  $pyz$  ไวรัสอิสระผลิตโดยเซลล์ที่ติดเชื้อในอัตรา  $ky$  และการสลายตัวในระบบภูมิคุ้มกันที่อัตรา  $\mu v$  ในที่สุด CTLs ขยายตัวในการตอบสนองต่อแอนติเจนของไวรัสที่มาจากการเซลล์ที่ติดเชื้อในอัตรา  $cyz$  และการสลายตัวในกรณีที่ไม่มีการกระตุ้นแอนติเจน ที่อัตรา  $bz$

ในงานวิจัยในครั้งนี้ผู้วิจัยได้พัฒนาแบบจำลองที่มีการเพิ่มของประชากรแบบคงที่ เป็นแบบจำลองที่มีการเพิ่มของประชากรแบบโลจิสติก โดยมีการแบ่งประชากรออกเป็น 3 กลุ่ม คือ กลุ่มประชากรที่เสี่ยงต่อการติดเชื้อ กลุ่มประชากรที่ติดเชื้อและสามารถถ่ายทอดเชื้อได้ และกลุ่มประชากรติดเชื้อที่ถูกกักกันหรือคัดแยก โดยศึกษาลักษณะการติดเชื้อของโรคเมื่อเพิ่มขึ้นหรือลดลงจะมีผลต่ออัตราการติดเชื้อ หรือไม่ ที่อยู่ในประเทศฯ ประจำปี พ.ศ.๒๕๖๔ (ต่อไป)



## บทที่ 3

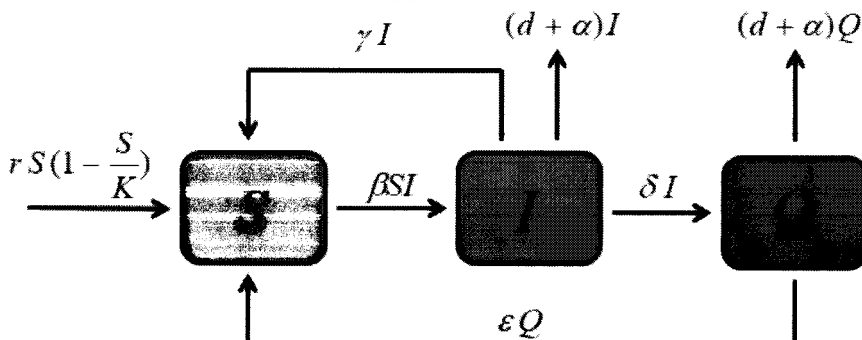
### วิธีดำเนินการวิจัย

ในการจัดทำโครงการวิจัยเรื่อง การวิเคราะห์สูตรรบกวนพัฒนาด้วยตัวชี้วัด SIQS เมื่อมีการเพิ่มของประชากรแบบโลจิสติก ผู้จัดทำโครงการมีวิธีดำเนินการวิจัยตามขั้นตอนดังต่อไปนี้

- 3.1 การพัฒนาแบบจำลองทางคณิตศาสตร์
- 3.2 การวิเคราะห์เสถียรภาพทางคณิตศาสตร์ของแบบจำลอง
- 3.3 การวิเคราะห์ผลเชิงตัวเลขของแบบจำลอง

#### 3.1 การพัฒนาแบบจำลองทางคณิตศาสตร์

งานวิจัยครั้งนี้ได้พัฒนาแบบจำลองทางคณิตศาสตร์ที่เกี่ยวข้องกับการระบาดโดยเมื่อมีสถานการณ์การระบาด จะแบ่งประชากรออกเป็น 3 กลุ่ม ดังนี้  $S(t)$  แทน ประชากรที่เสี่ยงต่อการติดเชื้อ (Susceptible individuals) ในขณะ  $t$ ,  $I(t)$  แทน จำนวนคนที่ติดเชื้อและสามารถแพร่เชื้อต่อคนอื่น (Infected individuals) ในเวลา  $t$  เพื่อความสะดวกเราจะเขียนแทน  $S(t), I(t)$  และ  $Q(t)$  เป็น  $S, I$  และ  $Q$  ตามลำดับ ดังนั้นประชากรรวม  $N = S + I + Q$  การเปลี่ยนแปลงของแต่ละกลุ่มประชากร แสดงในรูปที่ 3.1 พารามิเตอร์และความหมายของแต่ละตัวแปร จะแสดงในตารางที่ 3.1



รูปที่ 3.1 แบบจำลองการระบาด SIQS เมื่อมีการเพิ่มประชากรแบบโลจิสติก

### ตารางที่ 3.1 พารามิเตอร์และความหมายของแต่ละตัวแปร

ตัวแปร	ความหมาย
$r$	อัตราการเพิ่มของประชากร
$K$	ค่าคงตัวความสมดุลของประชากร ( $rS(1 - \frac{S}{K})$ )
$\beta$	อัตราการติดเชื้อจากเชื้อโรค
$\delta$	อัตราการคัดแยกจากการติดเชื้อ
$\gamma$	อัตราการฟื้นตัวจากการติดเชื้อ
$\varepsilon$	อัตราการฟื้นตัวจากการติดเชื้อที่ถูกกักกันหรือคัดแยก
$d$	อัตราการตายโดยธรรมชาติ
$\alpha$	อัตราการตายด้วยโรค

จากรูปที่ 3.1 จะเห็นว่าประชากรกลุ่มที่เสี่ยงต่อการติดเชื้อมีจำนวนเพิ่มขึ้นเนื่องจากอัตราการเพิ่มขึ้นของประชากรแบบโลจิสติก ด้วยค่าราก  $rD(1 - \frac{S}{K})$  นั่นคือ สมการเชิงอนุพันธ์โลจิสติกและเพิ่มจำนวนจากการฟื้นตัวในกลุ่มที่ติดเชื้อ และกลุ่มติดเชื้อที่ถูกคัดแยกตามค่าราก  $\gamma$  และ  $\varepsilon$  ตามลำดับ ในทางกลับกันประชากรกลุ่มที่เสี่ยงต่อการติดเชื้อมีจำนวนลดลงเนื่องจาก อัตราการแพร่กระจายของโรคด้วยอัตรา  $\beta$  และสำหรับประชากรกลุ่มที่ติดเชื้อมีจำนวนเพิ่มขึ้นเนื่องจากอัตราการแพร่กระจายของโรคด้วยอัตรา  $\beta$  และประชากรกลุ่มที่ติดเชื้อมีจำนวนลดลงเนื่องจาก การเสียชีวิตโดยธรรมชาติและจาก การเป็นโรคด้วยอัตรา  $d$  และ  $\alpha$  ตามลำดับ อีกทั้งลดลงจากการฟื้นตัวในกลุ่มที่ติดเชื้อด้วยอัตรา  $\gamma$  รวมถึงอัตราการคัดแยกจากการติดเชื้อด้วยอัตรา  $\delta$  และสำหรับประชากรกลุ่มติดเชื้อที่ถูกคัดแยกมีจำนวนเพิ่มขึ้นเนื่องจากอัตราการคัดแยกจากการติดเชื้อด้วยอัตรา  $\delta$  และประชากรกลุ่มติดเชื้อที่ถูกคัดแยก มีจำนวนลดลงเนื่องจากการเสียชีวิตโดยธรรมชาติและการเป็นโรคด้วยอัตรา  $d$  และ  $\alpha$  ตามลำดับ และลดลงจากการฟื้นตัวในกลุ่มติดเชื้อที่ถูกคัดแยกด้วยอัตรา  $\varepsilon$  นอกจากนี้ สมมติฐานการสร้างแบบจำลองเมื่อมีอัตราการเพิ่มของประชากรแบบโลจิสติก คือ ในกลุ่มประชากรที่เสี่ยงต่อการติดเชื้อมีอัตราการเสียชีวิตโดยธรรมชาติ อยู่ในสมการ  $rS(1 - \frac{S}{K})$

จากรูปที่ 3.1 และสมมติฐานข้างต้นจะได้ตัวแบบเชิงคณิตศาสตร์ของแบบจำลองการระบบด้วยมีอัตราการเพิ่มของประชากรแบบโลจิสติกในระบบสมการเชิงอนุพันธ์ดังนี้

$$\begin{aligned}
 \frac{dS}{dt} &= rS(1 - \frac{S}{K}) + \gamma I + \varepsilon Q - \beta SI \\
 \frac{dI}{dt} &= \beta SI - (\gamma + \delta + d + \alpha) I \\
 \frac{dQ}{dt} &= \delta I - (\varepsilon + d + \alpha) Q
 \end{aligned} \tag{3.1}$$

โดยที่  $\frac{dS}{dt}, \frac{dI}{dt}, \frac{dQ}{dt}$  หมายถึง อัตราการเปลี่ยนแปลงของประชากรกลุ่ม  $S$  กลุ่ม  $I$  และกลุ่ม  $Q$  เทียบกับเวลา  $t$  ตามลำดับ

### 3.2 การวิเคราะห์เส้นรากทางคณิตศาสตร์ของแบบจำลอง

3.2.1 จุดสมดุลของแบบจำลองทางคณิตศาสตร์ จะได้จากการกำหนด  $\frac{dS}{dt} = \frac{dI}{dt} = \frac{dQ}{dt} = 0$

จะได้ว่า

$$rS(1 - \frac{S}{K}) + \gamma I + \varepsilon Q - \beta SI = 0 \quad (3.2)$$

$$\beta SI - (\gamma + \delta + d + \alpha)I = 0 \quad (3.3)$$

$$\delta I - (\varepsilon + d + \alpha)Q = 0 \quad (3.4)$$

จากสมการ (3.3) จะได้ว่า

$$(\beta S - (\gamma + \delta + d + \alpha))I = 0 \quad (3.5)$$

จากสมการ (3.4) จะได้ว่า

$$Q = \frac{\delta I}{(\varepsilon + d + \alpha)} \quad (3.6)$$

จากสมการ (3.5) พบร้าในการหาจุดสมดุลพิจารณา 2 กรณี คือ  $I = 0$  และ  $\beta S - (\gamma + \delta + d + \alpha) = 0$

กรณีที่ 1  $I = 0$  จะได้ว่า  $S = K, Q = 0$

ดังนั้นจุดสมดุล คือ  $E^0 = (S^0, I^0, Q^0) = (K, 0, 0)$

โดยเรียกว่า **จุดสมดุลที่อิสระจากโรค** (Disease-free equilibrium)

กรณีที่ 2  $\beta S - (\gamma + \delta + d + \alpha) = 0$

จะได้ว่า

$$S = \frac{(\gamma + \delta + d + \alpha)}{\beta} \quad (3.7)$$

พิจารณาสมการ (3.2)

$$rS(1 - \frac{S}{K}) + \gamma I + \varepsilon Q - \beta SI = 0$$

นำสมการ (3.6) แทนในสมการ (3.2) จะได้ว่า

$$rS(1 - \frac{S}{K}) + \gamma I + \varepsilon \left( \frac{\delta I}{(\varepsilon + d + \alpha)} \right) - \beta SI = 0$$

$$I = \frac{\frac{rS^2}{K}(\frac{K}{S} - 1)(\varepsilon + d + \alpha)}{\delta d + \delta \alpha + d\varepsilon + d^2 + ad + \alpha\varepsilon + ad + a^2}$$

ดังนั้น จุดสมดุล คือ  $E^* = (S^*, I^*, Q^*)$  เมื่อ

$$\begin{aligned} S^* &= \frac{(\gamma + \delta + d + \alpha)}{\beta} \\ I^* &= \frac{r(S^*)^2(R_0 - 1)(\varepsilon + d + \alpha)}{K(\delta d + \delta \alpha + d\varepsilon + d^2 + 2ad + \alpha\varepsilon + a^2)} \\ Q^* &= \frac{\delta I^*}{(\varepsilon + d + \alpha)} \end{aligned}$$

$$\text{และ } R_0 = \frac{\beta K}{(\gamma + \delta + d + \alpha)}$$

โดยเรียกจุดสมดุล ( $E^*$ ) ว่า จุดสมดุลที่โรคคงอยู่ (Endemic equilibrium)

ถ้า  $R_0 > 1$  จะได้ว่า  $I^*$  มีค่าเป็นบวก ซึ่ง  $R_0$  คือ ค่าระดับการติดเชื้อพื้นฐาน โดยจะกล่าววิธีการหาในหัวข้อถัดไป

### 3.2.2 ค่าระดับการติดเชื้อพื้นฐาน

ในที่นี้จะเขียนแบบต่อเนื่อง ค่า  $R_0$  คือค่าที่ต้องการติดเชื้อพื้นฐานให้มีผลต่อจำนวนคนติดเชื้อในแต่ละวัน

(Next generation matrix)

จากสมการ (3.1) สามารถเขียนเป็นเมตริกซ์ได้ดังนี้

$$\frac{d}{dt} \begin{bmatrix} S \\ I \\ Q \end{bmatrix} = \begin{bmatrix} rS(1 - \frac{S}{K}) + \gamma I + \varepsilon Q - \beta SI \\ \beta SI - (\gamma + \delta + d + \alpha)I \\ \delta I - (\varepsilon + d + \alpha)Q \end{bmatrix} \quad (3.8)$$

จากสมการ (3.8) จะได้ว่า

$$F_i = \begin{bmatrix} 0 \\ \beta SI \\ 0 \end{bmatrix} \text{ และ } V_i = \begin{bmatrix} -rS(1 - \frac{S}{K}) - \gamma I - \varepsilon Q + \beta SI \\ (\gamma + \delta + d + \alpha)I \\ -\delta I + (\varepsilon + d + \alpha)Q \end{bmatrix} \quad (3.9)$$

จากเดียวกับเมตริกซ์ของสมการ (3.9) คือ

$$F = \begin{bmatrix} 0 & 0 & 0 \\ \beta I & \beta S & 0 \\ 0 & 0 & 0 \end{bmatrix} \text{ และ } V = \begin{bmatrix} r(\frac{2S}{K} - 1) + \beta I & -\gamma + \beta S & -\varepsilon \\ 0 & (\gamma + \delta + d + \alpha)I & 0 \\ 0 & -\delta & (\varepsilon + d + \alpha)Q \end{bmatrix} \quad (3.10)$$

แทนค่าจุดสมดุลที่อิสระจากโรค

$$E^0 = (S^0, I^0, Q^0) = (K, 0, 0)$$

ลงในสมการ (3.10) จะได้ว่า

$$F = \begin{bmatrix} 0 & 0 & 0 \\ 0 & \beta K & 0 \\ 0 & 0 & 0 \end{bmatrix} \text{ และ } V = \begin{bmatrix} r & \gamma + \beta K & \varepsilon \\ 0 & (\gamma + \delta + d + \alpha) & 0 \\ 0 & -\delta & (\varepsilon + d + \alpha) \end{bmatrix} \quad (3.11)$$

จากสมการ (3.11) จะได้เมทริกซ์ปกผันของ  $V$  ดังนี้

$$V^{-1} = \begin{bmatrix} \frac{1}{r} & -\frac{(\gamma + \beta K)(\varepsilon + d + \alpha) + (\delta \varepsilon)}{r(\gamma + \delta + d + \alpha)(\varepsilon + d + \alpha)} & \frac{\varepsilon}{r(\varepsilon + d + \alpha)} \\ 0 & \frac{1}{(\gamma + \delta + d + \alpha)} & 0 \\ 0 & \frac{\delta}{(\gamma + \delta + d + \alpha)(\varepsilon + d + \alpha)} & \frac{1}{(\varepsilon + d + \alpha)} \end{bmatrix}$$

นำเมทริกซ์  $F$  คูณ  $V^{-1}$  จะได้

$$FV^{-1} = \begin{bmatrix} 0 & 0 & 0 \\ 0 & \frac{\beta K}{(\gamma + \delta + d + \alpha)} & 0 \\ 0 & 0 & 0 \end{bmatrix} \quad (3.12)$$

หากค่าลักษณะเฉพาะของสมการ (3.12) ให้  $\lambda$  เป็นจำนวนจริงที่ทำให้  $\det(FV^{-1} - \lambda I) = 0$

$$\det(FV^{-1} - \lambda I) = \begin{vmatrix} -\lambda & 0 & 0 \\ 0 & \frac{\beta K}{(\gamma + \delta + d + \alpha)} - \lambda & 0 \\ 0 & 0 & -\lambda \end{vmatrix} = 0$$

จะได้ว่า

$$\det(FV^{-1} - \lambda I) = \lambda^2 \left( \frac{\beta K}{(\gamma + \delta + d + \alpha)} - \lambda \right) = 0$$

ดังนั้น ค่าลักษณะเฉพาะของสมการ (3.12) คือ  $\lambda_1 = \lambda_2 = 0$  และ  $\lambda_3 = \frac{\beta K}{(\gamma + \delta + d + \alpha)}$

$$\begin{aligned} \rho(FV^{-1}) &= \max_{1 \leq i \leq 2} \{|\lambda_i|\} \\ &= \max\{|\lambda_1|, |\lambda_2|, |\lambda_3|\} \\ &= \frac{\beta K}{(\gamma + \delta + d + \alpha)} \end{aligned}$$

นั่นคือ

$$\rho(FV^{-1}) = \frac{\beta K}{(\gamma + \delta + d + \alpha)}$$

ดังนั้น

$$R_0 = \frac{\beta K}{(\gamma + \delta + d + \alpha)} \quad (3.13)$$

### 3.2.3 เสถียรภาพทางคณิตศาสตร์ของแบบจำลอง

จากระบบสมการ (3.1) หากค่าลักษณะเฉพาะของจาโคเบียนเมทริกซ์ได้ดังนี้  
กำหนดให้

$$\begin{aligned} rS(1 - \frac{S}{K}) + \gamma I + \varepsilon Q - \beta SI &= y_1 \\ \beta SI - (\gamma + \delta + d + \alpha)I &= y_2 \\ \delta I - (\varepsilon + d + \alpha)Q &= y_3 \end{aligned}$$

ดังนั้น จาโคเบียนเมทริกซ์ของแบบจำลอง คือ

$$J(E) = \begin{bmatrix} \frac{\partial y_1}{\partial S} & \frac{\partial y_1}{\partial I} & \frac{\partial y_1}{\partial Q} \\ \frac{\partial y_2}{\partial S} & \frac{\partial y_2}{\partial I} & \frac{\partial y_2}{\partial Q} \\ \frac{\partial y_3}{\partial S} & \frac{\partial y_3}{\partial I} & \frac{\partial y_3}{\partial Q} \end{bmatrix}$$

จะได้ว่า

$$J(E) = \begin{bmatrix} r(1 - \frac{2S}{K}) - \beta I & \gamma - \beta S & \varepsilon \\ \beta I & \beta S - (\gamma + \delta + d + \alpha) & 0 \\ 0 & \delta & -(\varepsilon + d + \alpha) \end{bmatrix} \quad (3.14)$$

**ทฤษฎีบท 3.1** ถ้า  $R_0 < 1$  และระบบสมการ (3.1) จะมีจุดสมดุลที่อิสระจากโรค ( $E^0$ ) เป็นจุดสมดุลที่มีเสถียรภาพเฉพาะที่เชิงเส้นกำกับ (locally asymptotically stable)

พิสูจน์ จาโคเบียนเมทริกซ์ของสมการ (3.14) ที่จุดสมดุลที่อิสระจากโรค ( $E^0$ ) คือ

$$J(E^0) = \begin{bmatrix} -r & \gamma - \beta K & \varepsilon \\ 0 & \beta K - (\gamma + \delta + d + \alpha) & 0 \\ 0 & \delta & -(\varepsilon + d + \alpha) \end{bmatrix} \quad (3.15)$$

ค่าลักษณะเฉพาะของจัโคเปียนเมทริกซ์ (3.15) ที่จุดสมดุลที่จุดอิสระจากโรค ( $E^0$ ) หากได้จาก  $\det(J(E^0) - \lambda I) = 0$  จะได้ว่า

$$(-r - \lambda_1)(\beta K - (\gamma + \delta + d + \alpha) - \lambda_2)(-(\varepsilon + d + \alpha) - \lambda_3) = 0$$

$$\text{ดังนั้น } \lambda_1 = -r, \lambda_2 = -(\gamma + \delta + d + \alpha), R_0 < 1, \lambda_3 = -(\varepsilon + d + \alpha)$$

จะเห็นได้ว่าค่าตัวรากและเฉพาะของจัโคเปียนเมทริกซ์ที่จุดสมดุลที่อิสระจะไม่รวมกันเป็นจำนวนจริงลบ คือ  $\lambda_1, \lambda_3 < 0$  และ  $\lambda_2 < 0$  เมื่อ  $R_0 < 1$  ดังนั้น จุดสมดุลที่อิสระจากโรคเป็นจุดที่มีเสถียรภาพเฉพาะที่เชิงเส้นกำกับถ้า  $R_0 < 1$

**ทฤษฎีบท 3.2** ถ้า  $R_0 > 1$  และระบบสมการ (3.1) จะมีจุดสมดุลที่โรคคงอยู่ ( $E^*$ ) เป็นจุดสมดุลที่มีเสถียรภาพเฉพาะที่เชิงเส้นกำกับ

พิสูจน์ จาโคเปียนเมทริกซ์ของสมการ (3.14) ที่จุดสมดุลที่โรคคงอยู่ ( $E^*$ ) คือ

$$J(E^*) = \begin{bmatrix} r(1 - \frac{2S^*}{K}) - \beta I^* & \gamma - \beta S^* & \varepsilon \\ \beta I^* & \beta S^* - (\gamma + \delta + d + \alpha) & 0 \\ 0 & \delta & -(\varepsilon + d + \alpha) \end{bmatrix} \quad (3.16)$$

ค่าลักษณะเฉพาะของจัโคเปียนเมทริกซ์ (3.16) ที่จุดสมดุลที่โรคคงอยู่  $E^*$  หากได้จาก  $\det(J(E^*) - \lambda I) = 0$  จะได้ว่า

$$f(\lambda) = \lambda^3 + a_1 \lambda^2 + a_2 \lambda + a_3 = 0 \quad (3.17)$$

$$\begin{aligned} \text{เมื่อ } a_1 &= (\beta I^* - r) + \frac{2rS^*}{K} + \varepsilon + d + \alpha \\ a_2 &= (\varepsilon + d + \alpha)(\beta I^* - r) + r(\varepsilon + d + \alpha) \frac{2S^*}{K} + \beta I^*(d + \alpha + \delta) \\ a_3 &= \beta I^* \varepsilon d + \beta I^* \varepsilon \alpha + \beta I^* d \delta + \beta I^* d^2 + 2\beta I^* d \alpha + \beta I^* \alpha \delta + \beta I^* \alpha^2 \end{aligned}$$

จากหลักการของเร้าท์ฮอร์วิช (Routh Hurwitz Condition) รากของสมการพหุนามกำลังสามจะมีรากที่เป็นจำนวนลบถ้า  $a_i > 0, i = 1, 2, 3$  และ  $a_1 a_2 - a_3 > 0$  จากสมการ (3.17) จะเห็นว่า  $a_3 > 0$  และ  $a_1, a_2 > 0$  เมื่อ  $\beta I^* > r$  และ  $R_0 > 1$  และ

$$\begin{aligned} a_1 a_2 - a_3 &= (\beta I^* - r)^2 (\varepsilon + d + \alpha) + (\beta I^* - r) \left( \frac{4\varepsilon r S^*}{K} + \frac{4dr S^*}{K} + \frac{4ar S^*}{K} + \varepsilon^2 + d^2 + \alpha^2 \right. \\ &\quad \left. + \beta I^* (d + \alpha + \delta) + 2(\varepsilon d + \varepsilon \alpha + \alpha d) \right) + \left( \frac{2r S^*}{K} \right)^2 (\varepsilon + d + \alpha) + \beta I^* \delta \varepsilon \\ &\quad + \frac{2r S^*}{K} (\beta I^* d + \beta I^* \alpha + \beta I^* \delta + \varepsilon^2 + d^2 + \alpha^2 + 2\varepsilon d + 2\varepsilon \alpha + 2\alpha d) > 0 \end{aligned}$$

เมื่อ  $\beta I^* > r$  และ  $R_0 > 1$

ดังนั้น จุดสมดุลที่โรคคงอยู่ ( $E^*$ ) เป็นจุดสมดุลที่มีเสถียรภาพเฉพาะที่เชิงเส้นกำกับเมื่อ  $R_0 > 1$

### 3.3 การวิเคราะห์ผลเชิงตัวเลขของแบบจำลอง

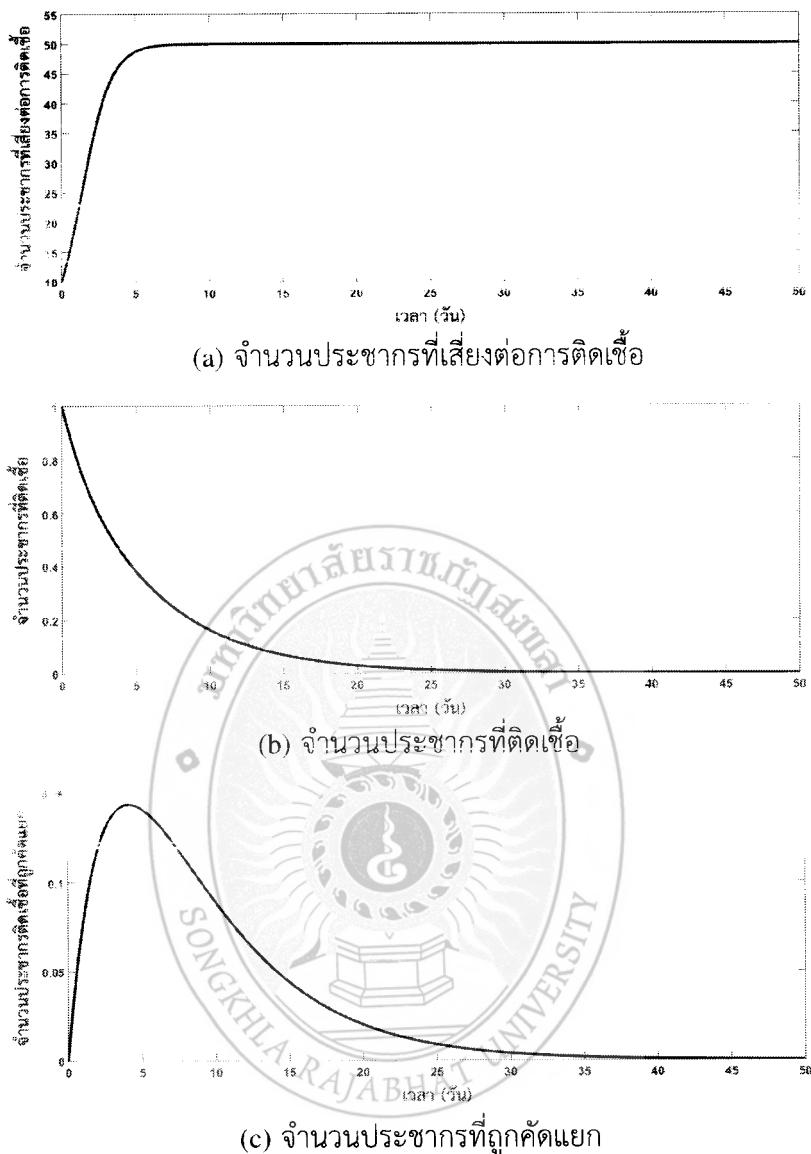
พิจารณาเสถียรภาพของแบบจำลองแต่ละจุดสมดุล โดยการนำค่าพารามิเตอร์ในตารางที่ 3.2 แทนลงในสมการที่ (3.1) โดยเลือกค่า  $\beta = 0.0014$  และ  $\beta = 0.05$  เพื่อให้สอดคล้องกับเงื่อนไข  $R_0 < 1$  และ  $R_0 > 1$

**ตารางที่ 3.2 ความหมายและค่าของพารามิเตอร์**

ตัวแปร	ความหมาย	ค่า
$r$	อัตราการเพิ่มของประชากร	1
$K$	อัตราขีดความสามารถในการรองรับ (จำนวนประชากร)	50
$\beta$	อัตราการแพร่กระจายของโรค	0.0014, 0.05
$\delta$	อัตราการคัดแยกจากการติดเชื้อ	0.1
$\gamma$	อัตราการฟื้นตัวจากการติดเชื้อ	0.03
$\varepsilon$	อัตราการฟื้นตัวจากการติดเชื้อที่ถูกกักกันหรือคัดแยก	0.2
$d$	ค่า $d = \frac{r}{\gamma + \varepsilon}$ คือ $d = \frac{0.1}{0.03 + 0.2} = 0.25$	0.1
$\alpha$	อัตราการตายด้วยโรค	0.01

#### 3.3.1 ผลเชิงตัวเลขเมื่อค่าระดับการติดเชื้อมีค่าน้อยกว่าหนึ่ง

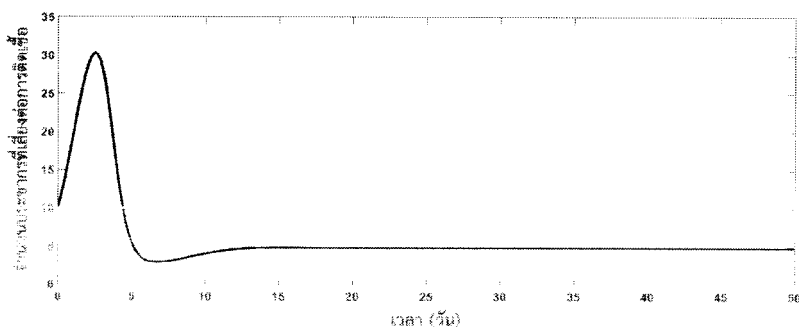
ในกรณี  $R_0 < 1$  จะกำหนดให้  $\beta = 0.0014$  ซึ่งจะทำให้ได้  $R_0 = 0.29 < 1$  เมื่อนำค่าพารามิเตอร์ต่าง ๆ ในตารางที่ 3.2 แทนลงในระบบสมการ (3.1) จะได้จุดสมดุลที่อิสระจากโรคคือ  $(S^0, I^0, Q^0) = (50, 0, 0)$  และค่าลักษณะเฉพาะของจาโคเปียนเมทริกซ์ที่จุดสมดุลอิสระจากโรคมีค่าเป็นจำนวนจริงลบคือ  $\lambda_1 = -1, \lambda_2 = -0.17, \lambda_3 = -0.31$  เมื่อพิจารณาผลเชิงตัวเลขโดยแสดงในรูปแบบกราฟในรูปที่ 3.2 จะเห็นว่า แบบจำลอง (3.1) มีค่าสู่เข้าสู่จุดสมดุลที่อิสระจากโรค  $E^0$  เมื่อ  $R_0 < 1$  ซึ่งสอดคล้องกับทฤษฎีบท 3.1 ซึ่งหมายความว่า การระบาดของโรคลดลงหรือไม่มีการแพร่ระบาดของโรคในอาณานิคมที่ศึกษา



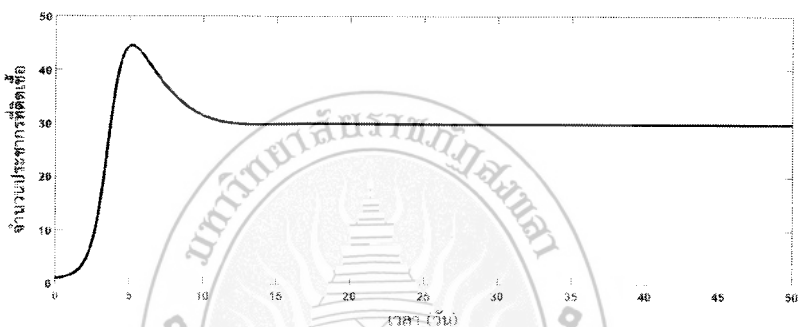
รูปที่ 3.2 แสดงผลเฉลยเชิงตัวเลขของแบบจำลอง (3.1) เมื่อ  $\beta = 0.0014$  จะได้  $R_0 < 1$

### 3.3.2 ผลเชิงตัวเลขเมื่อค่าระดับการติดเชื้อมีค่ามากกว่าหนึ่ง

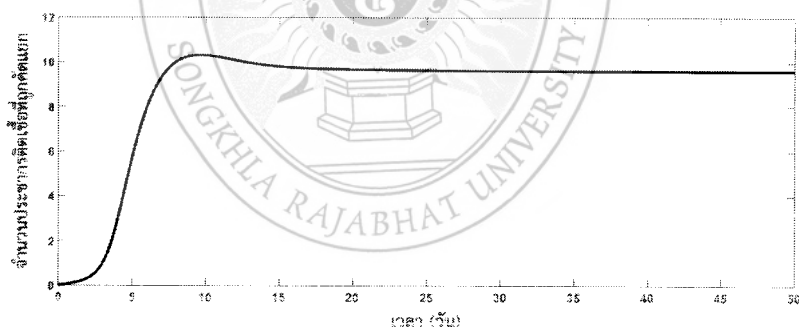
ในกรณี  $R_0 > 1$  จะกำหนดให้  $\beta = 0.05$  ซึ่งจะทำให้ได้  $R_0 = 10.42 > 1$  เมื่อนำค่าพารามิเตอร์ในตารางที่ 3.2 แทนลงในระบบสมการ (3.1) จะได้จุดสมดุลที่โรคคงอยู่ คือ  $(S^0, I^0, Q^0) = (4.80, 29.83, 9.62)$  และค่าลักษณะเฉพาะของจาโคเบียนเมทริกซ์ที่จุดสมดุลที่โรคคงอยู่ คือ  $\lambda_1 = -0.19, \lambda_2 = -0.40 + 0.46i, \lambda_3 = -0.40 - 0.46i$  ดังนั้นค่าลักษณะเฉพาะของจาโคเบียนเมทริกซ์ที่จุดสมดุลที่โรคคงอยู่เป็นจำนวนจริงลบ และจำนวนเชิงช้อนที่มีส่วนจริงเป็นลบ เมื่อคำนวณผลเชิงตัวเลขของแบบจำลอง จะเห็นได้ว่าแบบจำลอง (3.1) จะสู่เข้าสู่จุดที่โรคคงอยู่ ซึ่งผลเชิงตัวเลขที่ได้สอดคล้องกับทฤษฎีบท 3.2 แสดงดังรูปที่ 3.3



(a) จำนวนประชากรที่เสี่ยงต่อการติดเชื้อ



(b) จำนวนประชากรที่ติดเชื้อ



(c) จำนวนประชากรที่ถูกคัดแยก

รูปที่ 3.3 แสดงผลเฉลี่ยเชิงตัวเลขของแบบจำลอง (3.1) เมื่อ  $\beta = 0.05$  จะได้  $R_0 > 1$

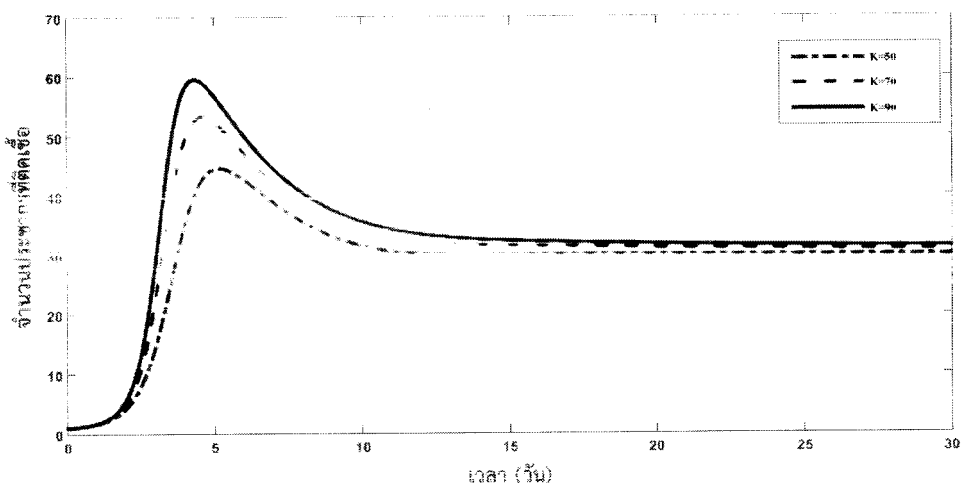
ตารางที่ 3.3 ความสัมพันธ์ระหว่างค่าระดับการติดเชื้อพื้นฐานและอัตราขีดความสามารถในการรองรับประชากร

อัตราขีดความสามารถในการรองรับประชากร ( $K$ )	ค่าระดับการติดเชื้อพื้นฐาน ( $R_0$ )
50	10.41667
70	14.58333
90	18.7500

จากตารางที่ 3.3 จะเห็นว่าอัตราขีดความสามารถในการรองรับประชากร  $K$  จะแปรผันตรงกับค่าระดับการติดเชื้อพื้นฐาน กล่าวคือ การเพิ่มอัตราขีดความสามารถในการรองรับประชากร ให้กับประชากรกลุ่มเสี่ยงต่อการติดเชื้อจะส่งผลต่อการเพิ่มขึ้นของค่าระดับการติดเชื้อพื้นฐาน ซึ่งค่าระดับการติดเชื้อพื้นฐานจะแปรผันตรงกับจำนวนประชากรที่ติดเชื้อ หากค่าระดับการติดเชื้อพื้นฐานเพิ่มขึ้น จะส่งผลให้ประชากรที่ติดเชื้อเพิ่มขึ้นด้วย เมื่อพิจารณาผลเชิงตัวเลขของแบบจำลอง (3.1) พบร่วมกับวิเคราะห์เส้นรากทางคณิตศาสตร์ของแบบจำลองและผลเชิงตัวเลขมีความสอดคล้องกันโดยแบบจำลองที่ 3.1 ได้มีรากเส้นพ. 4 เกินเส้นที่ 3 และต่ำกว่า 4 ดังนั้น รากติดเชื้อพื้นฐาน น ตึงสอดคล้องกับทฤษฎีบท 3.1 และ 3.2 และภาพที่ 3.4 อีกทั้งยังศึกษาพฤติกรรมผลเชิงตัวเลขของแบบจำลองที่ (3.1) เมื่อทำการเปลี่ยนแปลงอัตราขีดความสามารถในการรองรับประชากรจะเห็นได้ว่า เมื่ออัตราขีดความสามารถในการรองรับประชากรเพิ่มขึ้น ค่าระดับการติดเชื้อพื้นฐานเพิ่มขึ้น ซึ่งสอดคล้องกับ

$$\frac{\partial R_0}{\partial K} = \frac{\beta}{(\gamma + \delta + d + \alpha)} > 0$$

การลดอัตราขีดความสามารถในการรองรับประชากรตัวย่ออัตรา  $K$  แสดงดังรูปที่ 3.4 จะพบว่าการลดขีดความสามารถในการรองรับประชากรจะช่วยลดประชากรในการติดเชื้อได้



รูปที่ 3.4 แสดงอัตราค่าขีดความสามารถในการรองรับประชากรในกลุ่มประชากรที่ติดเชื้อในรูปแบบจำลอง แบบเวลาตามค่าพารามิเตอร์ต่อไปนี้  $r = 1, K = 50, 70$  และ  $90, \beta = 0.05, \delta = 0.1, \gamma = 0.03, \varepsilon = 0.2, d = 0.1$  และ  $\alpha = 0.1$

## บทที่ 4

### สรุปผลการวิจัย

ในบทนี้จะแสดงวิธีการวิเคราะห์แบบเชิงปริมาณของประชากรทั้งสามกลุ่ม คือ กลุ่มประชากรที่ไม่ได้รับการพัฒนาอย่างลento (S) กลุ่มประชากรที่ติดเชื้อ (I) และกลุ่มประชากรที่ติดเชื้อและสามารถรักษาตัวเองได้ (Q) ที่มีการแพร่ระบาดของเชื้อไวรัส COVID-19 ในประเทศไทย ผ่านการจำลองด้วยแบบจำลอง SIRQS โดยการเปลี่ยนจากอัตราการเพิ่มประชากรแบบคงที่มาเป็นอัตราการเพิ่มประชากรแบบโลจิสติก ซึ่งมีการแพร่ประชากรออกเป็น 3 กลุ่ม คือ กลุ่มประชากรที่เสี่ยงต่อการติดเชื้อ (S) กลุ่มประชากรที่ติดเชื้อและสามารถรักษาตัวเองได้ (I) และกลุ่มประชากรติดเชื้อที่ถูกกักกันหรือคัดแยก (Q) และได้มีการสร้างสมมติฐานเพิ่มเติมให้กับแบบจำลองที่พัฒนาได้และแบบจำลองตั้งกล่าวว่าสามารถเปลี่ยนให้อยู่ในรูปแบบสมการเชิงอนุพันธ์ดังนี้

$$\begin{aligned} \frac{dS}{dt} &= rS\left(1 - \frac{S}{K}\right) + \gamma I + \varepsilon Q - \beta SI \\ \frac{dI}{dt} &= \beta SI - (\gamma + \delta + d + \alpha) I \\ \frac{dQ}{dt} &= \delta I - (\varepsilon + d + \alpha) Q \end{aligned} \quad (4.1)$$

หากเราตั้งต้นด้วยพื้นฐานในช่วงแรกๆ ที่ประชากรติดเชื้อเป็นศูนย์ ( $I(0) = 0$ ) และตั้งค่า  $S(0) = K$  ให้  $\beta$  เป็นค่าคงที่ คือ  $\beta = \frac{\beta K}{(\gamma + \delta + d + \alpha)}$  ติดเชื้อพื้นฐานของสมการ (4.1) คือ

$$R_0 = \frac{\beta K}{(\gamma + \delta + d + \alpha)}$$

เมื่อทำการศึกษาแบบจำลอง (4.1) พบว่า แบบจำลองที่พัฒนาได้เป็นแบบจำลองที่มีจุดสมดุล 2 จุด คือ จุดสมดุลที่อิสระจากโรค  $E^0 = (K, 0, 0)$  และจุดสมดุลที่โรคคงอยู่  $E^* = (S^*, I^*, Q^*)$  ซึ่งจุดสมดุลทั้ง 2 จุดนี้ เป็นจุดสมดุลที่มีความเสถียรภาพภายใต้เงื่อนไขค่าระดับการติดเชื้อ คือ จุดสมดุลที่อิสระจากโรค มีเสถียรภาพ ถ้า  $R_0 < 1$  และจุดสมดุลที่โรคคงอยู่มีเสถียรภาพ ถ้า  $R_0 > 1$  โดยผลการวิเคราะห์เสถียรภาพทางคณิตศาสตร์มีความสอดคล้องกับผลการวิเคราะห์เชิงตัวเลขซึ่งเป็นไปตามทฤษฎีบท 3.1 และ 3.2 จากการวิเคราะห์ผลเชิงตัวเลขของจุดสมดุลที่โรคคงอยู่จะเห็นได้ว่า เมื่อจำนวนประชากรที่เสี่ยงต่อการเป็นโรคจะแพร่ผันตรงกับจำนวนประชากรที่ติดเชื้อ ซึ่งแสดงว่าเมื่อประชากรที่ติดเชื้อมีจำนวนเพิ่มมากขึ้น ก็จะทำให้ประชากรที่เสี่ยงต่อการติดเชื้อเพิ่มขึ้น ซึ่งสอดคล้องกับค่าอัตราขีดความสามารถในการรับประทานประชากรโดยจะเห็นได้ว่า เมื่อเพิ่มค่าอัตราขีดความสามารถในการรับประทานจะทำให้ค่าระดับการติดเชื้อพื้นฐานเพิ่มขึ้น และในทางกลับกัน เมื่อลดค่าอัตราขีดความสามารถในการรับประทาน ก็จะทำให้ค่าระดับการติดเชื้อพื้นฐานลดลง แบบจำลองทางคณิตศาสตร์จะเป็นเครื่องมือที่

สำคัญอย่างหนึ่งในการศึกษาการแพร่ระบาดของโรคซึ่งสามารถพยากรณ์ถึงจำนวนประชากรที่ติดเชื้อ และช่วงเวลาของการระบาดและเพื่อกำหนดประชากรให้เหมาะสมหรือสมดุลกับสถานที่นั้น ๆ

### ข้อเสนอแนะ

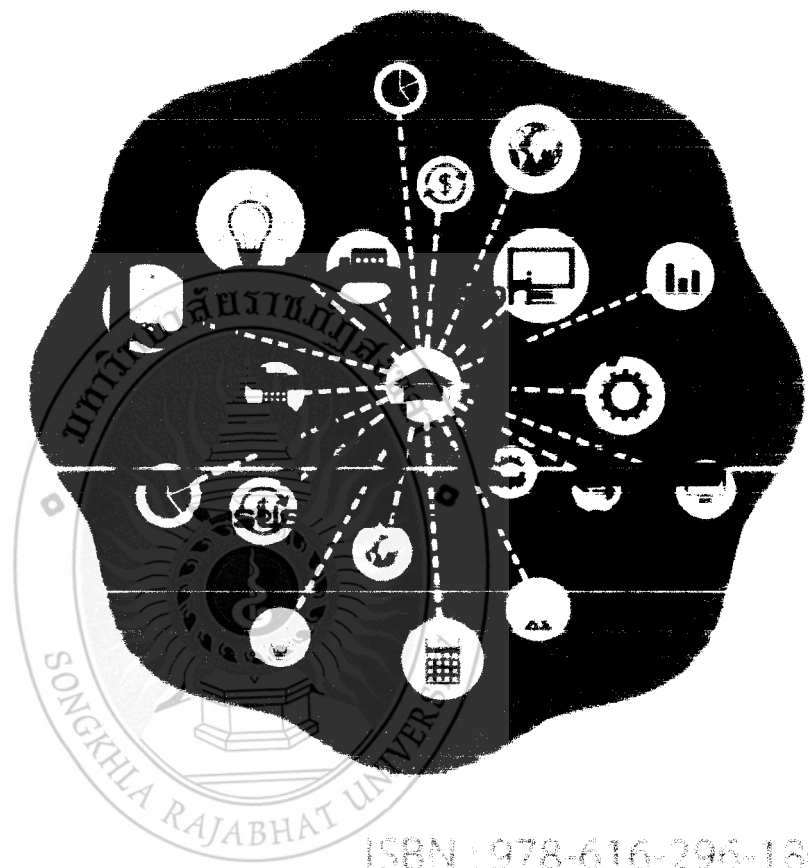
งานวิจัยในครัวเรือนที่มีความต่อเนื่อง อาทิ ฯ ที่นี่จะเป็นที่สอดคล้องกับโรคที่เกิดขึ้นจริง โดยเฉพาะในพารามิเตอร์หรือปัจจัยต่าง ๆ ที่เกี่ยวกับโรคที่ทำการศึกษามาประยุกต์กับแบบจำลองที่พัฒนาได้ ใน การนำมาประยุกต์ใช้ควรคำนึงว่าแบบจำลองทางคณิตศาสตร์เป็นแบบจำลองที่อยู่ภายใต้สมมติฐานซึ่ง หลาย ๆ พารามิเตอร์จะไม่มีตัวคูณหรือเป็นข้อมูลที่เปลี่ยนแปลงไปตามสถานการณ์ของการระบาดของ โรค ดังนั้น จึงควรระมัดระวังการเผยแพร่ และนำผลการศึกษาไปใช้งาน





ภาคนิวัติ A

# PROCEEDINGS



ISBN : 978-616-298-186-1

20 - 21 มีนาคม 2562

มหาวิทยาลัยคริสต์บูรณะ



QR Code

## SWURES12-091 การวิเคราะห์เสถียรภาพของแบบจำลองการระบาด SIQS

เมื่อมีการเพิ่มของประชากรแบบโลจิสติก

### STABILITY ANALYSIS OF AN SIQS EPIDEMIC MODEL WITH LOGISTIC

#### POPULATION GROWTH

สิทธิพงศ์ กอสาย อัชราพงศ์ จันดา พันธ์ ศิรัชิตา ทิพย์ศรี ยศศักดิ์ ดิน พชรวนะยงค์\*

Sittipong Torsai, Watcharapong Jindaphan, Sirachat Lipsri, Adisak Denphetnong\*

คณะวิทยาศาสตร์และเทคโนโลยี มหาวิทยาลัยราชภัฏสงขลา

Faculty of Science and Technology, Songkhla Rajabhat University.

\*Corresponding author, E-mail: adisak.de@skru.ac.th

#### บทคัดย่อ

งานวิจัยนี้ได้พัฒนาแบบจำลองการระบาดเมื่อมีการเพิ่มประชากรแบบโลจิสติก โดยมีการแบ่งประชากรออกเป็น 3 กลุ่ม คือ กลุ่มเสี่ยงต่อการติดเชื้อ กลุ่มติดเชื้อ และกลุ่มติดเชื้อที่ถูกคัดแยก ผลการศึกษาพบว่า แบบจำลองนี้มีจุดสมดุล 2 จุดคือ จุดสมดุลที่อิสระจากโรคและจุดสมดุลที่โรคคงอยู่ ผลการวิเคราะห์แบบจำลองโดยใช้ชั้ทธมลศาสตร์ พบผลเชิงตัวเลขแสดงให้เห็นว่า จุดสมดุลที่อิสระจะไม่คงอยู่ในจุดที่มีเส้นเชิงเส้นกางเข้ามีการติดเชื้อพื้นฐานมากกว่าหนึ่งจุดสมดุลที่โรคคงอยู่เป็นจุดที่มีเสถียรภาพเชิงเส้นกำกับ นอกจากนี้ยังพบว่าอัตราขีดความสามารถในการรองรับแพร่ระบาดต่ำกว่าอัตราขีดความสามารถในการรองรับก็จะส่งผลให้จำนวนผู้ติดเชื้อลดลง

**คำสำคัญ:** แบบจำลองการระบาด เสถียรภาพ ค่าระดับการติดเชื้อพื้นฐาน การเพิ่มแบบโลจิสติก

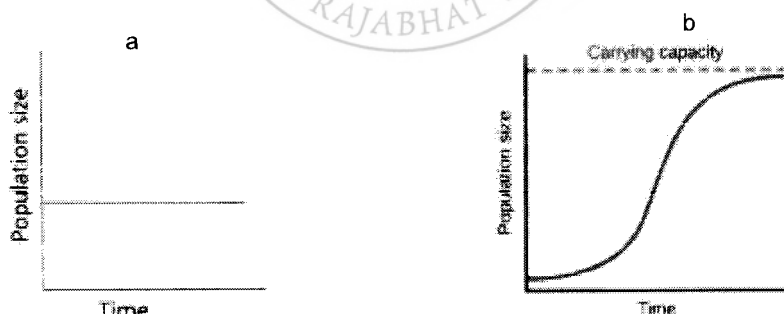
#### Abstract

This study aims to develop epidemic model with logistic population growth. The population is divided into 3 groups: susceptible, infected and quarantine. The results find that the model exhibits two equilibriums : disease-free and endemic equilibriums. The analysis of the stability theory and numerical simulation indicate that the disease-free equilibrium is locally asymptotically stable when basic reproduction number is less than unity. On the contrary, basic reproduction number is greater than unity, the endemic equilibrium is locally asymptotically stable. Additionally, our findings show that the carrying capacity rate varies as basic reproduction number. Therefore, decreasing carrying capacity rate results in decreased infected.

**Keywords:** Epidemic Model, Stability, Basic Reproduction Number, Logistic Growth

## บทนำ

โรคระบาด (Epidemic) คือ สถานการณ์การติดเชื้อโรคหรือโรคติดเชื้อที่เกิดขึ้นในระยะเวลาเดียวกันในชุมชนหรือในแหล่งหนึ่งแหล่งใดในอัตราสูงกว่าสถานการณ์ปกติที่ควรเป็น โดยการติดเชื่อนั้นลุกแพร่กระจายอยู่ในชุมชนหรือในแหล่งนั้นๆ ที่อยู่ใกล้เคียงจุดเริ่มต้นของโรคและสามารถแพร่กระจายจากลูกคลานไปยังชุมชนอื่นๆ ที่อยู่ใกล้ๆ กันไปได้หลายๆ ชุมชนหรือหลายๆ สถานที่ [1] จากปัญหาที่พบในชุมชนมีประชากรที่ติดเชื้อสูงกว่าสถานการณ์ปกติเพราเมื่อตัวประชากรที่ติดเชื้อสูงเดินไปเจรจาต่อรองมีความสมดุลของจำนวนประชากรในชุมชนนั้น พื้นที่ที่เป็นภาระพื้นที่ที่เสี่ยงต่อการติดเชื้อ ซึ่งการคัดแยกประชากรที่ติดเชื้อเป็นอีกวิธีหนึ่งที่สามารถควบคุมการระบาดของโรคเพื่อช่วยลดจำนวนประชากรในการติดเชื้อและการเพิ่มประชากรแบบโลจิสติกเป็นอีกวิธีหนึ่ง เช่นกันที่สามารถควบคุมการระบาดของโรคได้และเมื่อการเพิ่มประชากรแบบโลจิสติกมาเปรียบเทียบกับการเพิ่มประชากรแบบคงที่ จะเห็นได้ว่าการเพิ่มของประชากรแบบโลจิสติกมีความสมจริงมากกว่าการเพิ่มประชากรแบบคงที่ เพราะการเพิ่มประชากรแบบโลจิสติกเป็นการเพิ่มที่มีรูปแบบการเพิ่มลักษณะเป็นรูปตัวเอส (S-shape) หรือ กราฟแบบซิกมอยด์ (sigmoidal curve) ซึ่งแบ่งระยะต่างๆ ออกได้เป็น 4 ระยะด้วยกัน คือ ระยะที่ 1 มีการเพิ่มจำนวนประชากรอย่างช้าๆ เนื่องจากเป็นระยะเริ่มต้น จำนวนประชากรมีน้อย และมีตัวการเกิดสูงกว่าอัตราการตายเพียงเล็กน้อย ระยะที่ 2 มีการเพิ่มจำนวนประชากรอย่างรวดเร็ว เนื่องจากประชากรมีจำนวนมากขึ้น และสามารถปรับตัวเข้ากับสิ่งแวดล้อมได้ดี มีอัตราการเกิดสูงกว่าอัตราการตายมาก ระยะที่ 3 มีการเพิ่มประชากรช้าลง เนื่องจากมีตัวต้านทานในสิ่งแวดล้อมเข้ามามีบทบาทในการเพิ่มจำนวนประชากร เช่น แหล่งอาหารและแหล่งที่อยู่อาศัยค่อนข้างจำกัด มีของเสียจากเมแทบอลิซึมมากขึ้น มีการแก่งแย่งแข่งขันของประชากรมากขึ้น เป็นต้น ระยะที่ 4 มีการเพิ่มจำนวนประชากรค่อนข้างคงที่ เป็นช่วงที่ประชากรอยู่ในภาวะสมดุล เนื่องจากประชากรสูง รักบริบูรณ์ตัวให้เพิ่มระดับต่อเนื่องในสิ่งแวดล้อมได้ทั่วไป มีตัวต้านทานต่อการเพิ่มจำนวนประชากร เช่น การจับคบชัก ใจฉักรักที่จะเพิ่มขึ้นหรือลดลงบ้างเล็กน้อย (fluctuation) แต่ก็ไม่ทำให้ขาดประชากรเปลี่ยนแปลงไปมากนัก ถือได้ว่าระยะนี้เป็นระยะที่ขนาดประชากรมีความเหมาะสมกับสภาพแวดล้อมรอบด้าน โดยสภาพแวดล้อมที่สามารถรองรับประชากรได้มากที่สุดนี้ เรียกว่า ค่าขีดความสามารถในการรองรับ (Carrying capacity) [2] แต่การเพิ่มประชากรแบบคงที่เป็นการเพิ่มจำนวนประชากรเท่ากันทุกระยะและเมื่อทำการเพิ่มประชากรทั้ง 2 แบบ มาเปรียบเทียบกันจะได้ดังภาพที่ 1



ภาพที่ 1 เปรียบเทียบการเข้าประชากรแบบคงที่และแบบโลจิสติก

(a) การเพิ่มประชากรแบบคงที่ (b) การเพิ่มประชากรแบบโลจิสติก

ที่มา: Rice University. (2018). *Environmental Limits to Population Growth*. Retrieved November 20, 2018, from [https://cnx.org/contents/GFy\\_h8cu@10.12:eeuvGg4a@4/Environmental-Limits-to-Population-Growth](https://cnx.org/contents/GFy_h8cu@10.12:eeuvGg4a@4/Environmental-Limits-to-Population-Growth) [3].

แบบจำลองทางคณิตศาสตร์ที่เกี่ยวข้องกับการระบาดของโรคโดยส่วนมากจะเป็นแบบจำลองที่มีอัตราการเพิ่มประชากรแบบคงที่ [4-5] ซึ่งได้รับการศึกษาแบบจำลองการระบาดโดยมีสมมติฐานว่า กลุ่มประชากรที่เสี่ยงต่อการติดเชื้อมีการเพิ่มของประชากรแบบคงที่ อาทิ แบบจำลองการระบาด SIRB ของ Muhammad Altaf Khan; et al [4] ได้ศึกษาพบว่า มีจุดสมดุล 2 จุด คือ จุดสมดุลที่อิสระจากโรคและจุดสมดุลที่โรคคงอยู่ เมื่อ  $R_0 < 1$  จุดสมดุลที่อิสระจากโรคมีเสถียรภาพ ถ้า  $R_0 > 1$  จุดสมดุลที่โรคคงอยู่มีเสถียรภาพและแบบจำลองการระบาด SIQS และ SIQR ของ Herbertethcote et al [5] ได้ศึกษาผลกราฟบุปผาของการคัดแยกในแบบจำลอง SIQS และ SIQR 6 แบบ จ. ล. อย่างมีอัตรา อุบัติการณ์ 6 แบบ พ. 7. แบบ จ. ล. อย่างส่วนใหญ่ที่มีจุดสมดุลที่โรคคงอยู่จะมีเสถียรภาพและมี bifurcation หล่ายชนิด เกิดขึ้นในแบบ 6 แบบ สำหรับแบบ จ. ล. อย่าง การระบาดที่มีการเพิ่มขึ้นของประชากรแบบโลจิสติกได้มีการศึกษาแบบจำลองการระบาดของ Karam Allali [6] ได้ศึกษาแบบจำลองการเปลี่ยนแปลงของไวรัสตับอักเสบบี ด้วยการเพิ่มของเซลล์ตับแบบโลจิสติกและพบว่าเสถียรภาพของจุดสมดุลที่อิสระจากโรคและจุดสมดุลที่โรคคงอยู่ที่ก้าววิเคราะห์ผลเชิงตัวเลขในกราฟพิจารณา

ในงานวิจัยครั้งนี้ผู้วิจัยได้พัฒนาแบบจำลองทางคณิตศาสตร์ ที่เกี่ยวข้องกับการระบาดของโรคจากแบบจำลองการระบาดที่รู้จักกันในรูปแบบ SIQS ที่มีอัตราการเพิ่มของประชากรแบบคงที่ [5] มาเป็นแบบจำลองการระบาดในรูปแบบ SIQS โดยมีอัตราการเพิ่มของประชากรแบบโลจิสติก

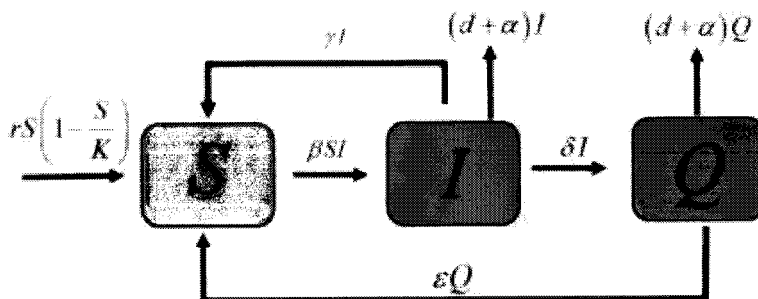
## วัตถุประสงค์ของการวิจัย

- เพื่อพัฒนาแบบจำลองการระบาด SIQS เมื่อมีการเพิ่มประชากรแบบโลจิสติก
- เพื่อวิเคราะห์เสถียรภาพทางคณิตศาสตร์ของแบบจำลอง
- เพื่อวิเคราะห์ผลเชิงตัวเลขของแบบ จ. ล. อย่าง

## วิธีดำเนินการวิจัย

### แบบจำลองทางคณิตศาสตร์

งานวิจัยครั้งนี้ได้พัฒนาแบบจำลองทางคณิตศาสตร์ที่เกี่ยวข้องกับการระบาดโดยเมื่อมีสถานการณ์การระบาดจะแบ่งประชากรออกเป็น 3 กลุ่ม ดังนี้  $S(t)$  แทนประชากรที่เสี่ยงต่อการติดเชื้อ (Susceptible individuals) ในเวลา  $t$   $I(t)$  แทนประชากรที่ติดเชื้อและสามารถหายหอดเชื้อได้ (Infected individuals) ในเวลา  $t$   $Q(t)$  แทนประชากรติดเชื้อที่ถูกกักกันหรือคัดแยก (Quarantine individuals) ในเวลา  $t$  เพื่อความสะดวกเราจะเขียนแทน  $S(t)$ ,  $I(t)$  และ  $Q(t)$  เป็น  $S$ ,  $I$  และ  $Q$  ตามลำดับ ดังนั้นประชากรรวม  $N = S + I + Q$  การเปลี่ยนแปลงของแต่ละกลุ่มประชากร แสดงในภาพที่ 2 พารามิเตอร์และความหมายของแต่ละตัวแปรจะแสดงในตารางที่ 1



ภาพที่ 2 แบบจำลองการระบาด SIQS เมื่อมีการเพิ่มประชากรแบบโลจิสติก

**ตารางที่ 1 พารามิเตอร์ ความหมายและค่าของตัวแปร**

ตัวแปร	ความหมาย	ค่า	ที่มา
$r$	อัตราการเพิ่มของประชากร	1	[6]
$K$	อัตราขีดความสามารถในการรองรับ (จำนวนประชากร)	50	[7]
$\beta$	อัตราการแพร่กระจายของโรค	Vary	[4, 6]
$\delta$	อัตราการคัดแยกจากอาการติดเชื้อ	0.1	[8]
$\gamma$	อัตราหายพื้นตัวของติดเชื้อ	0.03	[4]
$\varepsilon$	อัตราการพื้นตัวจากการติดเชื้อที่ถูกกักกันหรือคัดแยก	0.2	[8]
$d$	อัตราการตายโดยธรรมชาติ	0.1	[4]
$\alpha$	อัตราการตายด้วยโรค	0.01	[4]

จากภาพที่ 2 จะเห็นว่าประชากรกลุ่มที่เสี่ยงต่อการติดเชื้อมีจำนวนเพิ่มขึ้นเนื่องจากอัตราการเพิ่มขึ้นของประชากรแบบโลจิสติกด้วยอัตรา  $rS\left(1 - \frac{S}{K}\right)$  นั่นคือ สมการเชิงอนุพันธ์โลจิสติกและเพิ่มขึ้นจากการพื้นตัวในกลุ่มที่ติดเชื้อ และกลุ่มติดเชื้อที่ถูกคัดแยกด้วยอัตรา  $\gamma$  และ  $\varepsilon$  ตามลำดับ ในทางกลับกันประชากรกลุ่มที่เสี่ยงต่อการติดเชื้อมีจำนวนลดลงเนื่องจากอัตราการแพร่กระจายของโรคด้วยอัตรา  $\beta$  และสำหรับประชากรกลุ่มที่ติดเชื้อมีจำนวนเพิ่มขึ้นเนื่องจากอัตราการแพร่กระจายของโรคด้วยอัตรา  $\beta$  และประชากรกลุ่มที่ติดเชื้อมีจำนวนลดลงเนื่องจาก การเสียชีวิตโดยธรรมชาติและจากการเป็นโรคด้วยอัตรา  $d$  และ  $\alpha$  ตามลำดับอีกทั้งลดลงจากการพื้นตัวในกลุ่มที่ติดเชื้อด้วยอัตรา  $\gamma$  รวมถึงอัตรา  $\varepsilon$  ค่าคงเด tam ติดเชื้อตัวต่อตัว  $r$  และส่วนที่รับประทาน  $S$  ลุ่มติดเชื้อที่ถูกคัดแยกมีจำนวนเพิ่มขึ้นเนื่องจากอัตรา  $\gamma$  ค่าคงเด tam ติดเชื้อตัวต่อตัว  $\varepsilon$  และส่วนที่รับประทาน  $S$  ลุ่มติดเชื้อที่ถูกคัดแยก มีจำนวนลดลงเนื่องจากการเสียชีวิตโดยธรรมชาติและจากการเป็นโรคด้วยอัตรา  $d$  และ  $\alpha$  ตามลำดับและลดลงจากการพื้นตัวในกลุ่มติดเชื้อที่ถูกคัดแยกด้วยอัตรา  $\gamma$  นอกจากนี้สมมติฐานการสร้างแบบจำลองเมื่อมีอัตราการเพิ่มของประชากรแบบโลจิสติก คือ ในกลุ่มประชากรที่เสี่ยงต่อการติดเชื้อมีอัตราการเสียชีวิตโดยธรรมชาติอยู่ใน สมการ  $rS\left(1 - \frac{S}{K}\right)$

จากภาพที่ 2 และสมมติฐานข้างต้นจะได้ตัวแบบเชิงคณิตศาสตร์ของแบบจำลองการระบาดเมื่อมีอัตราการเพิ่มของประชากรแบบโลจิสติกในระบบสมการเชิงอนุพันธ์ดังนี้

$$\begin{aligned} \frac{dS}{dt} &= rS\left(1 - \frac{S}{K}\right) + \gamma I + \varepsilon Q - \beta SI \\ \frac{dI}{dt} &= \beta SI - (\gamma + \delta + d + \alpha)I \\ \frac{dQ}{dt} &= \delta I - (\varepsilon + d + \alpha)Q \end{aligned} \quad (1)$$

โดยที่  $\frac{dS}{dt}$ ,  $\frac{dI}{dt}$ ,  $\frac{dQ}{dt}$  หมายถึงอัตราการเปลี่ยนแปลงของประชากรกลุ่ม  $S$  กลุ่ม  $I$  และกลุ่ม  $Q$  เทียบกับเวลา  $t$  ตามลำดับ

### วิเคราะห์แบบจำลอง

การวิเคราะห์ทางคณิตศาสตร์ของแบบจำลอง เป็นการตรวจสอบเสถียรภาพของแบบจำลองก่อนที่จะนำไปพยากรณ์โดยเริ่มต้นจากการหาจุดสมดุล และนำจุดสมดุลที่ได้มาวิเคราะห์เสถียรภาพทางคณิตศาสตร์

- จุดสมดุลของแบบจำลอง

จุดสมดุลของแบบจำลอง (1) จะได้จากการกำหนด  $\frac{dS}{dt} = \frac{dI}{dt} = \frac{dQ}{dt} = 0$  เมื่อแก้ระบบสมการจะได้จุด

สมดุล 2 จุดคือ

1. จุดสมดุลที่อิสระจากโรค  $E^0 = (S^0, I^0, Q^0) = (K, 0, 0)$

2. จุดสมดุลที่โรคคงอยู่  $E^* = (S^*, I^*, Q^*)$  เมื่อ

$$\begin{aligned} S^* &= \frac{(\gamma + \delta + d + \alpha)}{\beta}, \\ I^* &= \frac{r(S^*)^2(R_0 - 1)(\varepsilon + d + \alpha)}{K(\delta d + \delta \alpha + d\varepsilon + d^2 + 2\alpha d + \alpha\varepsilon + \alpha^2)}, \\ Q^* &= \frac{\delta I^*}{(\varepsilon + d + \alpha)} \end{aligned} \quad (2)$$

และ  $R_0 = \frac{\beta K}{(\gamma + \delta + d + \alpha)}$  เรียกว่า ค่าระดับการติดเชื้อพื้นฐาน (Basic reproduction number)

ค่าระดับการติดเชื้อพื้นฐานของโรค [9] คือดัชนีวัดจำนวนคนในเนื้อที่ของผู้ติดเชื้อหนึ่งคนที่จะติดเชื้อให้คนอื่นต่อไป ค่า  $R_0$  คือดัชนีสำคัญในการติดเชื้อพื้นฐานของโรค สำหรับค่า  $R_0 < 1$  หมายความว่า การระบาดของโรคลดลงหรือไม่มีการแพร่ระบาดของโรคในบริเวณที่ศึกษาแต่ถ้า  $R_0 > 1$  โรคมีโอกาสกลับมาระบาดอีกครั้งเนื่องจากจำนวนเฉลี่ยของการติดเชื้อต่อเนื่องจากผู้ป่วยแต่ละคนมีจำนวนเพิ่มขึ้นเพียงพอที่จะทำให้บริเวณที่ศึกษาเกิดการระบาดของโรคอีกครั้ง

ค่าระดับการติดเชื้อพื้นฐานจะหาโดยวิธีการแนวคิดของเมทริกซ์รุ่นถัดไป (Next generation matrix) [10] และค่าระดับการติดเชื้อพื้นฐานที่แสดงใน [9] กำหนดให้  $x = (S, I, Q)^T$  สามารถเขียนระบบสมการ (1) ในรูปแบบเมทริกซ์ได้ดังนี้

$$\frac{dx}{dt} = F_i - V_i \quad \text{เมื่อ } F_i = \begin{bmatrix} 0 \\ \beta S I \\ 0 \end{bmatrix}, V_i = \begin{bmatrix} -rS(1 - \frac{S}{K}) - \gamma I - \varepsilon Q + \beta S I \\ (\gamma + \delta + d + \alpha)I \\ -\delta I + (\varepsilon + d + \alpha)Q \end{bmatrix}$$

เมื่อจากอิบิเมทริกซ์ที่จุดสมดุลที่อิสระจากโรค ( $DF(E^0)$ ) คือ

$$F = \begin{bmatrix} 0 & 0 & 0 \\ 0 & \beta K & 0 \\ 0 & 0 & 0 \end{bmatrix} \quad \text{และ} \quad V = \begin{bmatrix} r & -\gamma + \beta K & -\varepsilon \\ 0 & (\gamma + \delta + d + \alpha) & 0 \\ 0 & -\delta & (\varepsilon + d + \alpha) \end{bmatrix}$$

ดังนั้น ค่าระดับการติดเชื้อพื้นฐาน ( $R_0$ ) คือ  $R_0 = \rho(FV^{-1}) = \frac{\beta K}{\gamma + \delta + d + \alpha}$  เมื่อ  $\rho(FV^{-1})$  ถูกกำหนดให้

เป็นรัศมีสเปกตรัม (spectral radius) ของเมทริกซ์  $FV^{-1}$

□ วิเคราะห์เสถียรภาพทางคณิตศาสตร์ของแบบจำลอง

จุดสมดุลเป็นจุดเสถียรภาพถ้าค่าลักษณะเฉพาะ (Eigenvalue) (แทนด้วย  $\lambda$ ) ของ Jacobian เมทริกซ์ ของระบบสมการ (1)

$$J(E) = \begin{bmatrix} r(1 - \frac{2S}{K}) - \beta I & \gamma - \beta S & \varepsilon \\ \beta I & \beta S - (\gamma + \delta + d + \alpha) & 0 \\ 0 & \delta & (\varepsilon + d + \alpha) \end{bmatrix} \quad (3)$$

ที่จุดสมดุล ( $E$ ) เป็นจำนวนจริงลบ หรือจำนวนเชิงซ้อนที่มีส่วนจริงเป็นลบ ดังนั้นเสถียรภาพของจุดสมดุลของแบบจำลองพิจารณาดังนี้

1. ค่าลักษณะเฉพาะของ Jacobian เมทริกซ์ (3) ที่จุดสมดุลที่อิสระจากโรค  $E^0$  คือ

$$\lambda_1 = -r, \lambda_2 = (\gamma + \delta + d + \alpha)(R_0 - 1), \lambda_3 = -(\varepsilon + d + \alpha)$$

จะได้ว่า  $\lambda_1, \lambda_3 < 0$  และ  $\lambda_2 = (\gamma + \delta + d + \alpha)(R_0 - 1) < 0$  เมื่อ  $R_0 < 1$  ดังนั้นจุดสมดุลที่อิสระจากโรค  $E^0$  เป็นจุดที่มีเสถียรภาพเฉพาะที่เชิงเส้นกำกับถ้า  $R_0 < 1$  ดังทฤษฎีต่อไปนี้

**ทฤษฎีบท 1** ถ้า  $R_0 < 1$  และจุดสมดุลที่อิสระจากโรค  $E^0$  เป็นจุดสมดุลที่มีเสถียรภาพเฉพาะที่เชิงเส้นกำกับ (locally asymptotically stable)

2. ค่าลักษณะเฉพาะของ Jacobian เมทริกซ์ (3) ที่จุดสมดุลที่โรคคงอยู่  $E^*$  คือ

$$f(\lambda) = \lambda^3 + a_1 \lambda^2 + a_2 \lambda + a_3 \quad (4)$$

$$\text{เมื่อ } a_1 = (\beta I^* - r) + \frac{2rS^*}{K} + \varepsilon + d + \alpha,$$

$$a_2 = (\varepsilon + d + \alpha)(\beta I^* - r) + r(\varepsilon + d + \alpha) \frac{2S^*}{K} + \beta I^*(d + \alpha + \delta),$$

$$a_3 = \beta I^* \varepsilon d + \beta I^* \alpha \varepsilon + \beta I^* d \delta + \beta I^* d^2 + 2\beta I^* d \alpha + \beta I^* \alpha \delta + \beta I^* \alpha^2$$

จากหลักการของเร้าชนที่เออร์วิช [11] รากของสมการพหุนามกำลังสามจะมีรากที่เป็นจำนวนลบถ้า  $a_i > 0, i=1,2,3$  และ  $a_1 a_2 - a_3 > 0$  จากสมการ (4) จะเห็นว่า  $a_3 > 0$  และ  $a_1, a_2 > 0$  เมื่อ  $\beta I^* > r$  และ  $R_0 > 1$  และ

$$\begin{aligned} a_1 a_2 - a_3 &= (\beta I^* - r)^2 (\varepsilon + d + \alpha) + (\beta I^* - r) \left( \frac{4\varepsilon r S^*}{K} + \frac{4d r S^*}{K} + \frac{4\alpha r S^*}{K} + \beta I^* d + \beta I^* \alpha + \beta I^* \delta + \varepsilon^2 \right. \\ &\quad \left. + d^2 + \alpha^2 + 2\varepsilon d + 2\alpha \varepsilon + 2\alpha d \right) + \left( \frac{2r S^*}{K} \right)^2 (\varepsilon + d + \alpha) + \frac{2r S^*}{K} (\beta I^* d + \beta I^* \alpha + \beta I^* \delta + \varepsilon^2 \\ &\quad + d^2 + \alpha^2 + 2\varepsilon d + 2\alpha \varepsilon + 2\alpha d) + \beta I^* \delta \varepsilon > 0 \text{ เมื่อ } \beta I^* > r \text{ และ } R_0 > 1 \end{aligned}$$

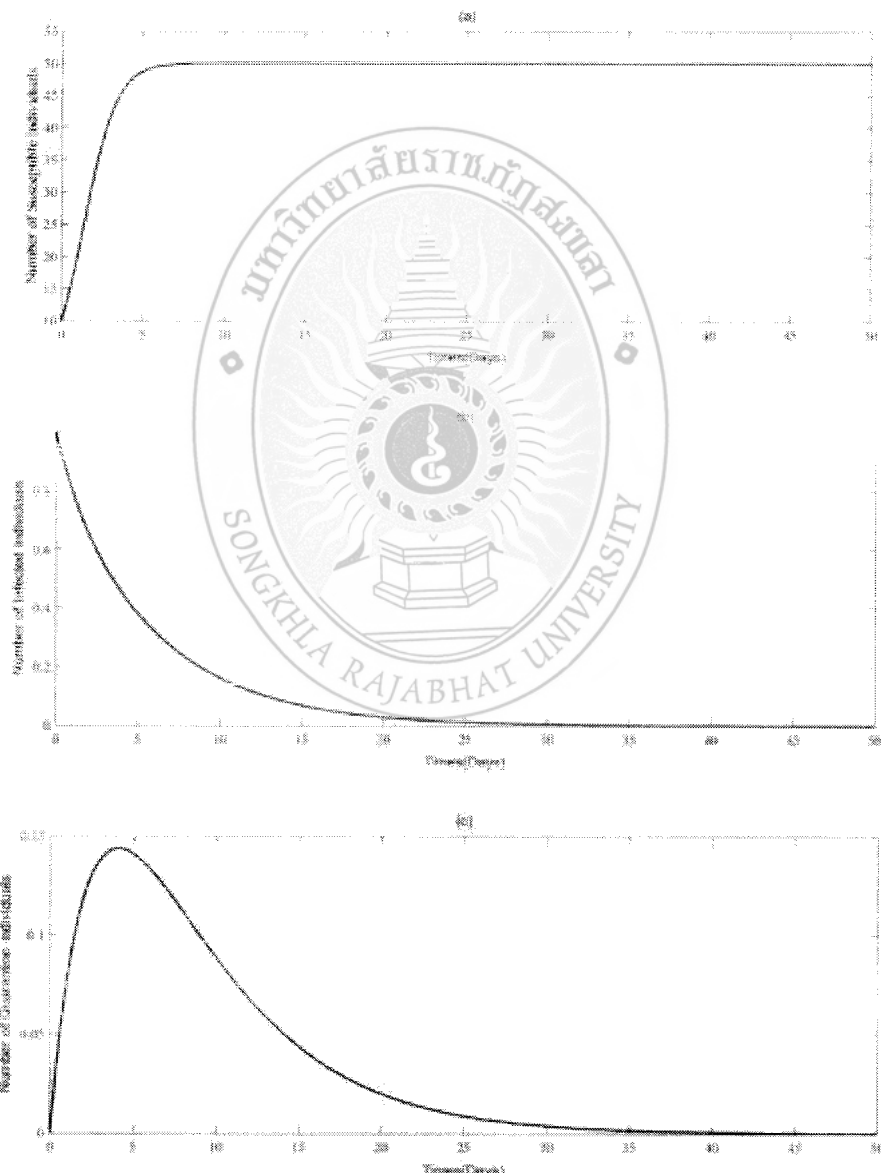
ดังนั้นจุดสมดุลที่โรคคงอยู่  $E^*$  เป็นจุดที่มีเสถียรภาพเฉพาะที่เชิงเส้นกำกับเมื่อ  $R_0 > 1$  ดังทฤษฎีต่อไปนี้

ทฤษฎีบท 2 ถ้า  $R_0 > 1$  และจุดสมดุลที่โรคคงอยู่  $E^*$  เป็นจุดสมดุลที่มีเสถียรภาพเฉพาะที่เชิงเส้นกำกับ

## ผลการวิจัย

การวิเคราะห์แบบจำลอง (1) โดยการใช้ MATLAB คำนวณหาผลลัพธ์เชิงตัวเลขของระบบสมการ (1) ร่วมด้วยค่าพารามิเตอร์ต่างๆ ในตารางที่ 1 และเงื่อนไขค่าเริ่มต้น  $S(0) = 10$ ,  $I(0) = 1$ ,  $Q(0) = 0$  โดยเริ่มต้นตัวจัดส่งยาและยา (1) ที่เป็นตัวจัดส่งยาที่มีเสถียรภาพ แต่ตัวยาที่ใช้คงค้างในตัวติดเชื้อพื้นฐานโดยเปลี่ยนแปลงอัตราการเผยแพร่กระจายของโรค  $\beta$  เพื่อให้สอดคล้องกับเงื่อนไข  $R_0 < 1$  และ  $R_0 > 1$

ผลเชิงตัวเลขเมื่อค่าระดับการติดเชื้อมีค่าน้อยกว่าหนึ่ง ( $R_0 < 1$ )

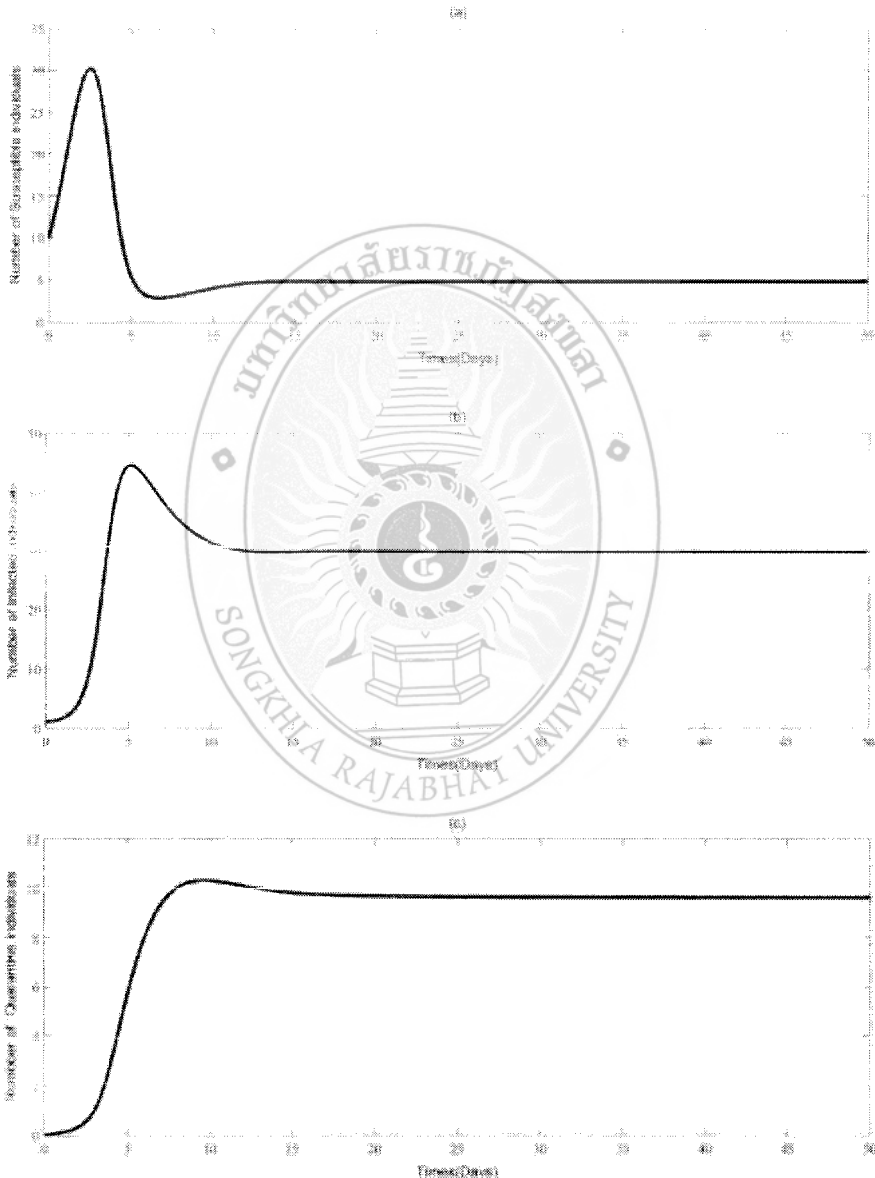


ภาพที่ 3 แสดงผลเฉลยเชิงตัวเลขของแบบจำลอง (1) เมื่อ  $\beta = 0.0014$  จะได้  $R_0 < 1$

(a) จำนวนประชากรที่เสี่ยงต่อการติดเชื้อ    (b) จำนวนประชากรที่ติดเชื้อ    (c) จำนวนประชากรที่ถูกตัดแยก

ในกรณี  $R_0 < 1$  จะกำหนดให้  $\beta = 0.0014$  ซึ่งจะทำให้ได้  $R_0 = 0.29 < 1$  เมื่อนำค่าพารามิเตอร์ต่างๆ ในตารางที่ 1 แทนลงในระบบสมการ (1) จะได้จุดสมดุลที่อิสระจากโรคคือ  $(S^0, I^0, Q^0) = (50, 0, 0)$  และค่าลักษณะเฉพาะของจุดนี้คือ  $\lambda_1 = -1, \lambda_2 = -0.17, \lambda_3 = -0.31$  เมื่อพิจารณาผลเชิงตัวเลขโดยแสดงในรูปแบบกราฟในภาพที่ 3 จะเห็นว่า แบบจำลอง (1) มีค่าสู่เข้าสู่จุดสมดุลที่อิสระจากโรค  $E^0$  เมื่อ  $R_0 < 1$  ซึ่งแสดงคล้องกับทฤษฎีบท 1 ซึ่งหมายความว่า การระบาดของโรคลดลงหรือไม่มีการแพร่ระบาดของโรคในอนาคต บริเวณที่ศึกษา

#### ผลเชิงตัวเลขเมื่อค่าระดับการติดเชื้อมีค่ามากกว่าหนึ่ง ( $R_0 > 1$ )



ภาพที่ 4 แสดงผลเฉลยเชิงตัวเลขของแบบจำลอง (1) เมื่อ  $\beta = 0.05$  จะได้  $R_0 > 1$

(a) จำนวนประชากรที่เสี่ยงต่อการติดเชื้อ (b) จำนวนประชากรที่ติดเชื้อ (c) จำนวนประชากรที่ถูกคัดแยก

ในกรณี  $R_0 > 1$  จะกำหนดให้  $\beta = 0.05$  ซึ่งจะทำให้ได้  $R_0 = 10.42 > 1$  เมื่อนำค่าพารามิเตอร์ในตารางที่ 1 แทนลงในระบบสมการ (1) จะได้จุดสมดุลที่โรคคงอยู่คือ  $(S^*, I^*, Q^*) = (4.80, 29.83, 9.62)$  และค่าลักษณะเฉพาะของจาโคบีนเมทริกซ์ที่จุดสมดุลที่โรคคงอยู่คือ  $\lambda_1 = -0.19$  และ  $\lambda_2, \lambda_3$  คือ  $-0.4 \pm 0.46i$  ดังนั้นค่าลักษณะเฉพาะของจาโคบีนเมทริกซ์ที่จุดสมดุลที่โรคคงอยู่เป็นจำนวนจริงลบและจำนวนเชิงช้อนที่มีส่วนจริงเป็นลบ เมื่อคำนวณผลเชิงตัวเลขของแบบจำลอง จะเห็นได้ว่าแบบจำลอง (1) จะลุ่เข้าสู่จุดที่โรคคงอยู่ซึ่งผลเชิงตัวเลขที่ได้สอดคล้องกับบทที่ 2 และบทที่ 4

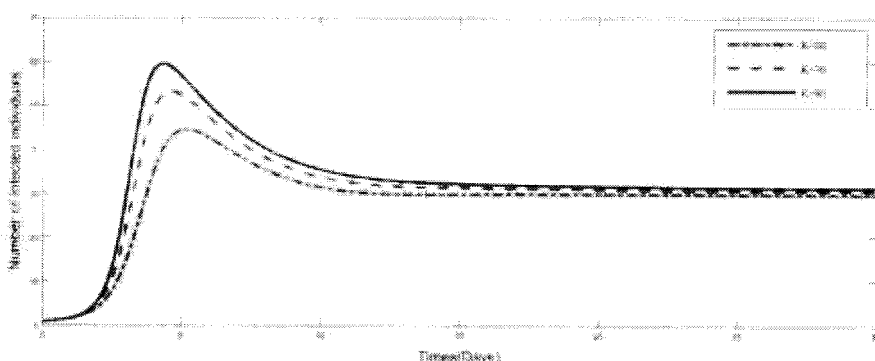
ตารางที่ 2 ความสัมพันธ์ระหว่างค่าระดับการติดเชื้อพื้นฐานและอัตราขีดความสามารถในการรองรับประชากร

อัตราขีดความสามารถในการรองรับประชากร ( $K$ )	ค่าระดับการติดเชื้อพื้นฐาน ( $R_0$ )
50	10.41667
70	14.58333
90	18.7500

จากตารางที่ 2 จะเห็นว่าอัตราขีดความสามารถในการรองรับประชากร  $K$  จะแปรผันตรงกับค่าระดับการติดเชื้อพื้นฐาน กล่าวคือ การเพิ่มอัตราขีดความสามารถในการรองรับประชากรให้กับประชากรกลุ่มเสี่ยงต่อการติดเชื้อจะส่งผลต่อการเพิ่มขึ้นของค่าระดับการติดเชื้อพื้นฐาน ซึ่งค่าระดับการติดเชื้อพื้นฐานจะแปรผันตรงกับจำนวนประชากรที่ติดเชื้อ หากค่าระดับการติดเชื้อพื้นฐานเพิ่มขึ้นจะส่งผลให้ประชากรที่ติดเชื้อเพิ่มขึ้นด้วย เมื่อพิจารณาผลเชิงตัวเลขเบบี้ ลยง (1) พบฯ เมื่อวิเคราะห์เส้นกราฟ พบฯ คณิตศ. สตรีชัยเบบี้ ลยงและผลเชิงตัวเลข มีรูปแบบเดียวกันโดยทั่วไป แต่ที่พนพ ไม่สามารถนับจำนวนคนที่ติดเชื้อได้ เนื่องจากตัวแปรที่ติดเชื้อพื้นฐาน ซึ่งสอดคล้องกับบทที่ 1 และ 2 และภาพที่ 5 อีกทั้งยังศึกษาพฤติกรรมผลเชิงตัวเลขของแบบจำลองที่ (1) เมื่อทำการเปลี่ยนแปลงอัตราขีดความสามารถในการรองรับประชากรจะเห็นได้ว่า เมื่ออัตราขีดความสามารถในการรองรับประชากรเพิ่มขึ้น ค่าระดับการติดเชื้อพื้นฐานเพิ่มขึ้น ซึ่งสอดคล้องกับ

$$\frac{\partial R_0}{\partial K} = \frac{\beta}{(\gamma + \delta + d + \alpha)} > 0$$

การลดอัตราขีดความสามารถในการรองรับประชากรด้วยอัตรา  $K$  แสดงดังภาพที่ 5 จะพบว่าการลดขีดความสามารถในการรองรับประชากรจะช่วยลดประชากรในการติดเชื้อได้



ภาพที่ 5 แสดงอัตราขีดความสามารถในการรองรับประชากรในกลุ่มประชากรที่ติดเชื้อในรูปแบบจำลองแบบเวลาตามค่าพารามิเตอร์ต่อไปนี้  $r = 1$ ,  $K = 50, 70$  และ  $90$ ,  $\beta = 0.05$ ,  $\delta = 0.1$ ,  $\gamma = 0.03$ ,  $\varepsilon = 0.2$ ,  $d = 0.1$  และ  $\alpha = 0.01$

## อภิปรายผลการวิจัย

งานวิจัยในครั้งนี้ได้พัฒนาแบบจำลองอย่างง่ายที่รู้จักกันในรูปแบบจำลอง SIQS โดยการเปลี่ยนจากอัตราเพิ่มประชากรแบบคงที่มาเป็นอัตราการเพิ่มของประชากรแบบโลจิสติก ผลการศึกษาพบว่าแบบจำลองที่พัฒนาได้เป็นแบบจำลองที่มีความเสถียรภาพภายใต้เงื่อนไขค่าระดับการติดเชื้อพื้นฐาน โดยผลการวิเคราะห์แสดงให้เห็นว่าหากต้องการลดจำนวนผู้ติดเชื้อลงให้ต้องมีอัตราณวนประชากรที่เสี่ยงต่อการเป็นโรคลดลงในแต่ละปี ต้องก่อให้เกิดการติดเชื้อต่อไปตามที่ระบุไว้ในรูปแบบจำลอง ซึ่งแสดงว่าเมื่อประชากรที่ติดเชื้อมีจำนวนเพิ่มมากขึ้น ก็จะทำให้ประชากรที่เสี่ยงติดเชื้อเพิ่มขึ้น ซึ่งส่งผลกระทบต่อการติดเชื้อต่อไปในวงกว้าง ในการรับประทานโดยจะเห็นได้ว่าเมื่อเพิ่มค่าอัตราขีดความสามารถในการรับประทานจะทำให้ค่าระดับการติดเชื้อพื้นฐานเพิ่มขึ้นและในทางกลับกันเมื่อลดค่าอัตราขีดความสามารถในการรับประทานก็จะทำให้ค่าระดับการติดเชื้อพื้นฐานลดลง

## สรุปผลการวิจัย

แบบจำลองทางคณิตศาสตร์จะเป็นเครื่องมือที่สำคัญอย่างหนึ่งในการศึกษาการแพร่ระบาดของโรคซึ่งสามารถพยากรณ์ถึงจำนวนประชากรที่ติดเชื้อและช่วงเวลาของการระบาดและเพื่อกำหนดประชากรให้เหมาะสมหรือสมดุลกับสถานที่นั้นๆ รวมถึงสามารถควบคุมการระบาดของโรคด้วยวิธีการคัดแยกเพื่อลดพื้นที่เสี่ยงต่อประชากรที่ติดเชื้อจากพื้นที่ที่มีการระบาดของโรคไปยังอีกที่หนึ่งได้แต่งานวิจัยในครั้งนี้ยังขาดการศึกษาที่นำเสนอแบบจำลองไปประยุกต์ใช้โรคที่เกิดขึ้นจริง โดยการนำพารามิเตอร์หรือปัจจัยต่างๆ ที่เกี่ยวข้องกับโรคที่ทำการศึกษามาประยุกต์กับแบบจำลองที่พัฒนาได้ ในกรณีมาประยุกต์ใช้ค่าค่านึงกับแบบจำลองทางคณิตศาสตร์ เป็นแบบจำลองที่ยังไม่ได้สมมติฐานชื่อหลักๆ คือ ไม่มีข้อมูลหรือเป็นข้อมูลที่เปลี่ยนแปลงไปตามสถานการณ์ของการระบาดของโรค ดังนั้น จึงควรระมัดระวังการแบ่งผล และนำไปใช้ในการศึกษาไปใช้งาน

## เอกสารอ้างอิง

- [1] พวงทอง ไกรพิบูลย์. (2015). โรคระบาด (Epidemic). สืบค้นเมื่อ 20 พฤษภาคม 2561, จาก <http://haamor.com/th/โรคระบาด/>
- [2] ภู่วัตร แก้วยอดจันทร์. (2018). รูปแบบการเพิ่มของประชากร. สืบค้นเมื่อ 20 พฤษภาคม 2561, จาก <https://bit.ly/2Kye7cA>
- [3] Rice University. (2018). *Environmental Limits to Population Growth*. Retrieved November 20, 2018, from [https://cnx.org/contents/GFy\\_h8cu@10.12:eeuvGg4a@4/Environmental-Limits-to-Population-Growth](https://cnx.org/contents/GFy_h8cu@10.12:eeuvGg4a@4/Environmental-Limits-to-Population-Growth)
- [4] Muhammad Altaf Khan, et al. (2015). Dynamical Behavior of Cholera Epidemic Model with Non-linear Incidence Rate. *Applied Mathematical Sciences*. 2015(9): 989-1002.
- [5] Herbertethcote et al. (2002, January). Effects of quarantine in six endemic models for infectious diseases. *Mathematical Biosciences*. 180(2002): 141-160.
- [6] Karam Allali. (2016). Dynamics of a Hepatitis B Viral Infection Model with Logistic Hepatocyte Growth and Cytotoxic T-Lymphocyte Response. *Nonlinear Analysis and Differential Equations*. 4(2016): 109-120.

- [7] Perrin S. Meyer, Jason W. Yung; & Jesse H. Ausubel. (1999). A Primer on Logistic Growth and Substitution: The Mathematics of the Loglet Lab Software. *Technological Forecasting and Social Change*. 61(3): 247-271.
- [8] Yanni Pang; Yuecai Han; & Wenjin Li. (2014). The threshold of a stochastic SIQS epidemic model. *Advances in Difference Equations*. 2014: 320.
- [9] Anderson R M & May R M (1991). *Infectious diseases of humans*. London: Oxford University Press.
- [10] Diekmann; et al. (1990). On the definition and the computation of the basic reproduction ratio  $R_0$  In models for infectious diseases in heterogeneous population. *J. Math. Biol.* 28: 355-382.
- [11] ยuditakard เดือนเพ็ชรหน่อง; まりษา สวนนิม; และ จิรันนท คุ่มเคี่ยม. (2560). แบบจำลองการระบาดที่เกี่ยวข้อง กับการฉีดหัวคีนและการคัดแยก. วารสารวิทยาศาสตร์บูรพา. 22(ฉบับพิเศษ): 354-365.



## เอกสารอ้างอิง

- เจษฎา เด็นดวงบริพันธ์. (2547). บทเรียนจากชาร์ส. วารสารวิจัยวิทยาศาสตร์(Section T), 3(1), 49-60.
- ธรรมรงค์ พิพัฒน์ (2548). แคลคูลัส : สรุปบทพากย์สำหรับนักเรียนมหิดล. สังฆ์ธรรมดิลก  
ธรรมส จำรัส (2548). แคลคูลัส สรุปบทพากย์ พีร์สัน. อ้อดูดูซั่น. อินโนเวชัน.
- ธีรวัฒน์ จึงสรรค์ศุภชัย, พนมกร ตalaพรรณ และชัยธนชัย ประวัสดิ์โรหทัย. (2554). ผลวัดของตัวแบบ  
ธุรกิจของแคลลดอร์-คาแลคกิทเมดีเลอร์. (โครงงานคณิตศาสตร์ระดับปริญญาบัณฑิต, มหาวิทยาลัยเทคโนโลยีพระจอมเกล้าพระนครเหนือ). สืบค้นจาก <https://vdocuments.site/dynamics-of-the-kaldor-kalecki-business-model-with-time-delay.html>
- พรพิศ ยิ่งประยูร. (2557). พีชคณิตเชิงเส้น. กรุงเทพฯ: สำนักพิมพ์มหาวิทยาลัยเกษตรศาสตร์.
- พวงทอง ไกรพิบูลย์. (2558). โรคระบาด. สืบค้น 20 พฤษภาคม 2561, จาก <http://haamor.com/th/โรคระบาด>
- ภู่วัตร แก้วยอดจันทร์. (2561). รูปแบบการเพิ่มของประชากร. สืบค้นเมื่อ 20 พฤษภาคม 2561,  
จาก <https://bit.ly/2Kye7cA>
- ภาคริสา ฉัตรกิจวุฒิ (2542). พีชคณิตเชิงเส้น สงขลา: ภาควิชาคณิตศาสตร์ คณะวิทยาศาสตร์ มหา  
วิทยาลัยสงขลานครินทร์
- วงศ์คน. ศรีพัท (2560). บทที่ ๓ ๕๙.๕๖ ๔๗.๖๗ ๔๗.๖๘/๔๗.๖๒/๔๗.๖๓. สืบค้นเมื่อ ๖ สิงหาคม ๒๕๖๑.  
<http://www.maths.sci.ku.ac.th/angkana/01417268/chapter3-eigenvalue.pdf>
- Diekmann, O., Heesterbeek, J. A. P., & Metz, J. A. J. (1990). On the definition and  
the computation of the basic reproduction ratio  $R_0$ . In models for infectious diseases in  
heterogeneous population. *J.Math. Biol.*, 28(1990), 355-382.
- George B. Johnson. (1997). *Living environment*. Retrieved from <http://e-book.ram.edu/e-book/c/CU474/chapter11.pdf>
- Herbert, T., Zhien, M., & Shengbing, L. (2002). Effects of quarantine in six endemic models  
for Infectious diseases. *Mathematical Biosciences*, 180(2002), 141-160.
- Karam, A., Adil, M., & Youssef, T. (2016). Dynamics of a Hepatitis B Viral Infection Model  
with Logistic Hepatocyte Growth and Cytotoxic T-Lymphocyte Response. *Nonlinear  
Analysis and Differential Equations*, 4(2016), 109-120.
- Muhammad, A. K., Ahmad, A., Dennis, L. C. C., Islam, S., Khan, I., Ullah, M., & Gul, T.  
(2015). Dynamical Behavior of Cholera Epidemic Model with Non-linear Incidence  
Rate. *Applied Mathematical Sciences*, 9(2015), 989-1002.